

300613
26
29



UNIVERSIDAD LA SALLE

ESCUELA DE INGENIERIA
INCORPORADA A LA U. N. A. M.

ANALISIS DE ESTRUCTURAS ESQUELETALES
PLANAS EMPLEANDO UNA
MICROCOMPUTADORA

TESIS PROFESIONAL
QUE PARA OBTENER EL TITULO DE:
INGENIERO CIVIL
P R E S E N T A :
GABRIEL LEONARDO PIÑON BLANCO

TESIS CON
FALLA DE ORIGEN

MEXICO, D. F.

1987



UNAM – Dirección General de Bibliotecas Tesis Digitales Restricciones de uso

DERECHOS RESERVADOS © PROHIBIDA SU REPRODUCCIÓN TOTAL O PARCIAL

Todo el material contenido en esta tesis está protegido por la Ley Federal del Derecho de Autor (LFDA) de los Estados Unidos Mexicanos (México).

El uso de imágenes, fragmentos de videos, y demás material que sea objeto de protección de los derechos de autor, será exclusivamente para fines educativos e informativos y deberá citar la fuente donde la obtuvo mencionando el autor o autores. Cualquier uso distinto como el lucro, reproducción, edición o modificación, será perseguido y sancionado por el respectivo titular de los Derechos de Autor.

INDICE

Pág.

INTRODUCCION	1
1-. ESTRUCTURAS ESQUELETALES PLANAS	
1.1-. Generalidades	
1.1.1-. Estructura Esqueletal Plana	
1.1.2-. Características de la barra plana	
1.2-. Modelo Estructural Discreto	
1.2.1-. Hipotesis Basicas	
2-. ECUACIONES DE EQUILIBRIO DE LA BARRA.....	4
2.1-. Ecuaciones de Equilibrio de una barra en funcion de los elementos mecanicos y cineaticos de los puntos nodales	
2.1.1-. Ecuaciones Diferenciales de Equilibrio	
2.1.2-. Equilibrio de la barra	
2.2-. Ecuaciones de Equilibrio de una barra descrita sobre Sistemas de Referencia arbitrarios	
2.3-. Vector de fuerzas de fijacion	
2.3.1-. Fuerzas de Fijacion	
2.3.1.1-. Par Concentrado	
2.3.1.2-. Carga Lineal Discontinua	
2.3.2-. Correccion de las Fuerzas de Fijacion por Articula- ciones en los Puntos Nodales	
2.3.2.1-. Barra articulada en el punto nodal i	
2.3.2.2-. Barra articulada en el punto nodal j	

2.3.3-. Referencia Global

2.4-. Vectores de fuerzas generalizadas o elementos mecánicos de la barra cinemáticamente determinada

2.4.1-. Matriz de Rigideces de la Barra. Referencia local.

2.4.1.1-. Barra doblemente empotrada

2.4.1.2-. Barra articulada en el punto nodal i

2.4.1.3-. Barra Articulada en el Punto Nodal j

2.4.1.4-. Barra Articulada en ambos extremos

2.4.2-. Matriz de Rigideces de la Barra. Referencia Global.

2.4.2.1-. Barra Doblemente Empotrada

2.4.2.2-. Barra con Articulaciones

2.5-. Vector de Fuerzas Externas

2.5.1-. Referencia Local

2.5.2-. Referencia Global

2.6-. Vector de Desplazamientos

3-. ECUACIONES DE EQUILIBRIO DE LA ESTRUCTURA 43

3.1-. Equilibrio Estructural

3.2-. Formación de la Matriz de Rigideces

3.2.1-. Indicadores de Ecuación

3.2.2-. Ensamble

3.3-. Formación del Vector de Cargas

3.3.1-. Vector de Fuerzas Externas

3.3.2-. Vector de Fuerzas de Fijación

3.4-. Condiciones Frontera de la Estructura

3.4.1-. Desplazamientos Preescritos

3.5-	Elementos Mecánicos y Cinemáticos de la Estructura	
4-	SOLUCION DE ECUACIONES DE EQUILIBRIO	54
4.1-	Introducción	
4.2-	Métodos Directos	
4.2.1-	Triangulación y sustitución	
4.3-	Almacenamiento de la Matriz de Rigideces	
4.3.1-	Arreglos Cuadrados	
4.3.2-	Arreglos Rectangulares	
4.3.3-	Arreglos Unidimensionales	
4.4-	Optimización de Métodos de Solución y empleo de Arreglos.	
5-	PROGRAMA DE COMPUTADORA	67
5.1-	Características	
5.1.1-	Computadora	
5.1.2-	Sistema Operativo	
5.1.3-	Lenguaje	
5.2-	Organización del Programa	
5.2.1-	Diagrama de Bloques	
5.2.2-	Descripción de Subrutinas	
5.2.3-	Bub-subrutinas	
5.3-	Instructivo de Operación	
6-	EJEMPLO DE APLICACION	75
6.1-	Estructuras Analizadas	

- 6.1.1-. Geometria
- 6.1.2-. Datos Iniciales
- 6.1.3-. Datos Generales
- 6.1.4-. Cargas Actuantes
- 6.2-. Resultados Obtenidos
 - 6.2.1-. Propiedades Geometricas
 - 6.2.2-. Matrices de Rigideces
 - 6.2.3-, Desplazamientos
 - 6.2.4-. Elementos Mecanicos

CONCLUSIONES Y RECOMENDACIONES.....	81
TABLAS Y FIGURAS	87
REFERENCIAS.....	112
ANEXOS.....	114
I-. Factor de Forma	
II-. Listado de programa	

INTRODUCCION

INTRODUCCION

Existen estructuras cuya complejidad de geometría, variedad de materiales que conforman las barras y por el tamaño de la misma no resulta adecuado efectuar su análisis mediante métodos tradicionales, ya sea por la complejidad en la obtención de la solución, o por ser una solución muy conservadora del problema.

Para este tipo de estructuras una opción es idealizarla como estructura esquelética plana cuya solución requiere como herramienta de cálculo una computadora.

El utilizar la computadora permite efectuar los cálculos en forma rápida y con un índice más bajo de error en el proceso numérico.

El objetivo de este trabajo consiste en presentar la metodología para análisis de estructuras esqueléticas bidimensionales, cuya solución se adapta al empleo de una computadora. Así como el desarrollo de un programa de computadora adecuado para máquinas de capacidad reducida de memoria.

En el Capítulo 1 se presentan los conceptos básicos de las estructuras esqueléticas planas. Esto es el modelo estructural discreto estándar utilizado, así como las hipótesis y limitaciones que involucra el planteamiento del mismo. En los Capítulos 2 y 3 se expone la teoría que fundamenta dicho modelo y la demos-

tración del mismo, tanto para la barra como para la estructura, respectivamente. El Capítulo 4 se ocupa de la solución de las ecuaciones de equilibrio. En el Capítulo 5 se describe el programa elaborado, así como un instructivo de operación del mismo. En el Capítulo 6, tres ejemplos de aplicación se presentan. Por último se presentan conclusiones, tablas, figuras y anexos según se muestra en el índice.

CAPITULO UNO

ESTRUCTURAS ESQUELETALES PLANAS

1-. ESTRUCTURAS ESQUELETALES PLANAS

1.1 -. Generalidades

1.1.1 -. Estructura Esqueletal Plana.

La estructura esquelética plana, es aquella que está formada - por barras planas unidas por nudos conocidos con el nombre de puntos nodales. En la fig. (1.1) se presentan varias estructuras idealizadas como estructuras esqueléticas.

1.1.2 -. Características de la barra plana.

Al considerar la barra plana como un elemento básico en el - estudio de estructuras esqueléticas, es preciso definir las características del tipo de barra que se considera en el presente - trabajo.

- a) Eje Recto
- b) Opción de articulaciones o empotramientos en cualquiera de - los puntos nodales.
- c) Material continuo, es decir un solo material por barra.
- d) Material de Hooke
- e) Propiedades Mecánicas del Material son iguales a compresión y tensión.
- f) Barras prismáticas es decir, de sección transversal constante.
- g) La referencia de las secciones es centroidal y principal.
- h) La sección es simétrica, existiendo un solo plano de carga.

- i) Dos puntos nodales por barra, pudiéndose dirigir la misma en cualquier dirección y sentido.
- j) Tres desplazamientos desconocidos como máximo por cada punto nodal de la misma.

1.2 -. Modelo Estructural Discreto

El modelo discreto de un sistema estructural es aquel que está compuesto por un número finito de elementos que representan las características del sistema y de las componentes del mismo; es el resultado de idealizar un modelo continuo a base de hipótesis que determinan un comportamiento aproximado al observado en el modelo continuo.

El modelo discreto estandar de la barra se define como :

$$f + k u = f \quad (1.1)$$

donde:

f es el vector de fuerzas de fijación de la barra

k es la matriz de rigideces de la barra

u es el vector de desplazamientos de la barra

f es el vector de fuerzas equilibrantes de la barra

Al aplicar a todas las barras de la estructura la ec. (1.1) es posible obtener las ecuaciones de equilibrio de la estructura

la cual se puede escribir como :

$$\sigma + K U = F \quad (1.2)$$

donde:

F es el vector de fuerzas de fijación de la estructura

K es la matriz de rigideces de la estructura

U es el vector de desplazamientos de la estructura

F es el vector de fuerzas de la estructura

1.2.1-. Hipótesis básicas

Las ecuaciones (1.1) y (1.2) consideran las siguientes hipótesis para la solución del modelo.

- Las deformaciones son pequeñas comparadas con las dimensiones de la sección.
- Secciones planas de la barra, normales a su eje permanecen planas después de someterse a flexión al elemento estructural.
- Las deflexiones provocadas por el esfuerzo cortante no producen giros a la sección transversal.
- Comportamiento estructural dentro del rango elástico.

CAPITULO DOS

ECUACIONES DE EQUILIBRIO DE LA BARRA

2.1 -. Ecuaciones de Equilibrio de una barra en función de los elementos mecánicos y cinemáticos de los puntos nodales.

2.1.1 -. Ecuaciones Diferenciales de Equilibrio

El Modelo matemático de una barra plana sometida a cargas estáticas se muestra a continuación :

$$EA \frac{du}{dx} = N_x \quad (2.1)$$

$$EI \frac{d^2 v_b}{dx^2} = M_x \quad (2.2)$$

$$EI \frac{dv_s}{dx} = \frac{\rho_y L^2 v_y}{12} \quad (2.3)$$

La ecuación (2.1) determina el equilibrio de la barra en función a sus desplazamientos paralelos al eje X, debidos a fuerzas normales al plano de la sección transversal de la barra.

La ecuación (2.2) establece el equilibrio del elemento barra en función a sus desplazamientos paralelos al eje Y, debidos a la flexión, mismos que provocan momentos alrededor del eje Z de la barra (fig 2.1).

La ecuación (2.3) representa el equilibrio de la barra en -

función a desplazamientos paralelos al eje Y, debidos a la fuerza cortante.

donde :

E es igual al valor numérico del módulo de elasticidad del material de la barra

A es el area de la sección transversal

u representa el desplazamiento paralelo al eje X

N es la fuerza equilibrante normal al plano de la sección de la barra.

Iz es momento de Inercia de la sección de la barra con respecto al eje Z.

Vb es el desplazamiento paralelo al eje Y, debido al esfuerzo respectivo en dicho sentido

Mz es el momento equilibrante respecto a Z

Vs es el desplazamiento debido al esfuerzo cortante paralelo al eje Y

β_y es un parámetro conocido como factor de cortante que involucra para su determinación a las propiedades geométricas y elásticas de la barra.

La expresión que nos permite conocer dicho factor es la siguiente:

$$\beta_y = \frac{12 EI_z}{A G L^2} f_y \quad (2.4)$$

L es la longitud de la barra
 f_y es el factor de forma, el cual se obtiene por medio de la siguiente expresión :

$$f_y = \frac{A}{I_z} \int_A \left(\frac{Q_z}{b_z} \right)^2 da \quad (2.5)$$

Q_z es el momento estático de la sección transversal

b_z es la base de la misma

G es el módulo de elasticidad al cortante, que es igual a :

$$G = \frac{E}{2(1+\nu)} \quad (2.6)$$

ν es la relación de Poisson

2.1.2 -. Equilibrio de la barra

El equilibrio de la barra se establece en función de los elementos mecánicos (fuerzas generalizadas) y cinemáticos (desplazamientos generalizados) asociados a los puntos frontera o puntos nodales de la barra, esto mediante el método de las rigideces.

El equilibrio de la barra se representa mediante la siguiente expresión matemática :

$$\begin{array}{cccccccc}
 0 & i_u & i_v & i_w & j_u & j_v & j_w & e \\
 f & + f_{u_i} & + f_{v_i} & + f_{w_i} & + f_{u_j} & + f_{v_j} & + f_{w_j} & = f_e \quad (2.7) \\
 - & - & - & - & - & - & - & -
 \end{array}$$

donde :

0

f vector de fuerzas de fijación, debidas a cargas externas y desplazamientos nulos, fig.(2.3).

i_u

f vector de fuerzas generalizadas debidas al desplazamiento paralelo al eje X , en el punto nodal i , fig.(2.4.a).

i_v

f vector de elementos mecánicos provocados por el desplazamiento paralelo al eje y, en el punto nodal i, fig.(2.4.b).

i_w

f vector de elementos mecánicos de la barra sometida únicamente al desplazamiento angular respecto al eje Z, en el punto nodal i, fig.(2.4.c).

j_u

f vector de fuerzas generalizadas de la barra sometida únicamente al desplazamiento paralelo al eje X , en el punto nodal j, fig.(2.4.d).

j_v

f vector de elementos mecánicos debidos al desplazamiento paralelo al eje Y, en el punto nodal j, fig.(2.4.e).

- J_w
- f vector de fuerzas generalizadas ocasionadas por el desplazamiento angular respecto al eje Z, en el punto nodal j , fig.(2.4.f).
- u_i desplazamiento horizontal en el nudo i
- v_j desplazamiento vertical en el nudo i
- w_j desplazamiento angular en el nudo i
- u_j desplazamiento horizontal en el nudo j
- v_j desplazamiento vertical en el nudo j
- w_j desplazamiento angular en el nudo j
- e
- f vector de fuerzas equilibrantes, mismo que representa las acciones de los nudos sobre la barra.

La notación utilizada para referirse a las cantidades de las diversas configuraciones se hace por superíndices. Para la configuración cinemáticamente determinada, sometida a las cargas originales, se emplea el superíndice igual a cero, mientras que para configuraciones con desplazamientos diferentes de cero, el superíndice consta de dos símbolos, siendo el primero asociado al punto nodal donde se presenta y el segundo se refiere al tipo de

desplazamiento considerado.

Para obtener los valores de los vectores de elementos mecánicos en términos de sus propiedades geométricas y tipo de material se integran las ecs. (2.1) a (2.3) de acuerdo a siete configuraciones cinemáticamente determinadas; una con desplazamientos nulos sometida a carga externa, y seis asociadas a los desplazamientos generalizados de los puntos nodales, se forma la ec. (2.7), antes mencionada.

Barra sometida únicamente al desplazamiento paralelo al el punto nodal i .

Esta configuración cinemáticamente determinada se indica con las siguientes condiciones frontera :

$$\begin{array}{c}
 iu \\
 | \\
 u \quad \quad \quad = u_i \\
 | \\
 x=0
 \end{array}
 \quad (2.7.1)$$

$$\begin{array}{c}
 iu \\
 | \\
 u \quad \quad \quad = 0 \\
 | \\
 x=L
 \end{array}
 \quad (2.7.2)$$

$$\begin{array}{c}
 iu \\
 | \\
 dv \\
 \hline
 b \\
 | \\
 dx
 \end{array}
 =
 \begin{array}{c}
 iu \\
 | \\
 dv \\
 \hline
 dx \\
 x=L
 \end{array}
 = 0
 \quad (2.7.3)$$

$$v \Big|_{x=0}^{iu} = v \Big|_{x=L}^{iu} = 0 \quad (2.7.4)$$

Al integrar las ecs. (2.1) a (2.3) con las condiciones de frontera anteriores se obtiene :

$$F = L \begin{pmatrix} 1 \\ 0 \\ 0 \\ -1 \\ 0 \\ 0 \end{pmatrix} \quad u_i \quad (2.7.5)$$

Barra sometida únicamente al desplazamiento paralelo al eje y, en

Esta configuración cinemáticamente determinada se indica con las siguientes condiciones frontera :

$$u \Big|_{x=0}^{iv} = u \Big|_{x=L}^{iv} = 0 \quad (2.7.6)$$

$$v \Big|_{x=0}^{iv} = v \Big|_{x=L}^{iv} \quad (2.7.7)$$

$$\frac{dv}{dx} \Big|_{x=0}^{iv} = \frac{dv}{dx} \Big|_{x=L}^{iv} = 0 \quad (2.7.8)$$

$$v \Big|_{x=L}^{iv} = 0 \quad (2.7.9)$$

Al integrar las ecs. (2.1) a (2.3) con las condiciones de frontera anteriores se obtiene :

$$v \Big|_{x=0}^{iw} = v \Big|_{x=L}^{iw} = 0 \quad (2.7.12)$$

$$\frac{dv}{dx} \Big|_{x=0}^{iw} = wi \quad (2.7.13)$$

$$\frac{dv}{dx} \Big|_{x=L}^{iw} = \quad (2.7.14)$$

Al integrar las ecs. (2.1) a (2.3) con las condiciones de frontera anteriores se obtiene :

$$F = \begin{pmatrix} 0 \\ \frac{6EI}{(1+\beta y)L^2} \\ \frac{(4+\beta y)EI}{(1+\beta y)L} \\ 0 \\ -\frac{6EI}{(1+\beta y)L^2} \\ \frac{(2-\beta y)EI}{(1+\beta y)L} \\ 0 \end{pmatrix} \quad w_i \quad (2.7.15)$$

Barra sometida únicamente al desplazamiento paralelo al eje x , en el punto nodal j .

Esta configuración cinemáticamente determinada se indica con las siguientes condiciones de frontera :

$$u \Big|_{x=0}^j = 0 \quad (2.7.16)$$

$$u \left. \frac{ju}{dx} \right|_{x=L} = u_j \quad (2.7.17)$$

$$\left. \frac{ju}{dx} \right|_{x=0} = \left. \frac{ju}{dx} \right|_{x=L} = 0 \quad (2.7.18)$$

$$v \left. \frac{ju}{dx} \right|_{x=0} = \left. \frac{ju}{dx} \right|_{x=L} = 0 \quad (2.7.19)$$

Al integrar las ecs. (2.1) a (2.3) con las condiciones de frontera anteriores se obtiene :

$$\begin{matrix} ju & AE \\ F & = \\ - & L \end{matrix} \begin{pmatrix} -1 \\ 0 \\ 0 \\ 1 \\ 0 \\ 0 \end{pmatrix} = u_j \quad (2.7.20)$$

$$u \Big|_{x=L}^{ju} = u_j \quad (2.7.17)$$

$$\frac{dv}{dx} \Big|_{x=0}^{ju} = \frac{dv}{dx} \Big|_{x=L}^{ju} = 0 \quad (2.7.18)$$

$$v \Big|_{x=0}^{ju} = v \Big|_{x=L}^{ju} = 0 \quad (2.7.19)$$

Al integrar las ecs. (2.1) a (2.3) con las condiciones de frontera anteriores se obtiene :

$$F = \frac{ju}{L} \begin{pmatrix} -1 \\ 0 \\ 0 \\ 1 \\ 0 \\ 0 \end{pmatrix} u_j \quad (2.7.20)$$

Barra sometida únicamente al desplazamiento paralelo al eje y, en el punto nodal j .

Esta configuración cinemáticamente determinada se indica con las siguientes condiciones frontera :

$$u \Big|_{x=0}^{jv} = u \Big|_{x=L}^{jv} = 0 \quad (2.7.21)$$

$$v \Big|_{x=0}^{jv} = 0 \quad (2.7.22)$$

$$\frac{dv}{dx} \Big|_{x=0}^{jv} = \frac{dv}{dx} \Big|_{x=L}^{jv} = 0 \quad (2.7.23)$$

$$v \Big|_{x=L}^{jv} = v j \quad (2.7.24)$$

Al integrar las ecs. (2.1) a (2.3) con las condiciones de frontera anteriores se obtiene :

$$\begin{matrix}
 jv \\
 F = \\
 -
 \end{matrix}
 \begin{pmatrix}
 0 \\
 - \frac{12EI}{(1+\beta y)L^3} \\
 - \frac{6EI}{(1+\beta y)L^2} \\
 0 \\
 \frac{12EI}{(1+\beta y)L^3} \\
 - \frac{6EI}{(1+\beta y)L^2}
 \end{pmatrix}
 \begin{matrix}
 v i \\
 \\
 \\
 \\
 \\
 \\
 \end{matrix}
 \quad (2.7.25)$$

Barra sometida únicamente al desplazamiento angular respecto al eje z en el punto nodal j .

Las condiciones de frontera correspondientes son :

$$\begin{matrix}
 jw \\
 u \\
 x=0
 \end{matrix}
 =
 \begin{matrix}
 jw \\
 u \\
 x=0
 \end{matrix}
 = 0
 \quad (2.7.26)$$

$$v \Big|_{x=0}^{j\omega} = v \Big|_{x=L}^{j\omega} = 0 \quad (2.7.27)$$

$$\frac{dv}{dx} \Big|_{x=0}^{j\omega} = 0 \quad (2.7.28)$$

$$\frac{dv}{dx} \Big|_{x=L}^{j\omega} = w j \quad (2.7.29)$$

Al integrar las ecs. (2.1) a (2.3) con las condiciones de frontera anteriores se obtiene :

$$F = \begin{bmatrix} 0 \\ \frac{6EI}{(1+\beta\gamma)L^2} \\ \frac{(2-\beta\gamma)EI}{(1+\beta\gamma)L} \\ 0 \\ -\frac{6EI}{(1+\beta\gamma)L^2} \\ \frac{(4+\beta\gamma)EI}{(1+\beta\gamma)L} \\ 0 \end{bmatrix} \quad w_j \quad (2.7.30)$$

La expresión (2.7) se puede escribir en forma matricial como

sigue:

$$\begin{matrix} 0 \\ f \\ - \end{matrix} + \begin{pmatrix} i_u & i_v & i_w & j_u & j_v & j_w \\ f & f & f & f & f & f \\ - & - & - & - & - & - \end{pmatrix} \begin{bmatrix} u_i \\ v_i \\ w_i \\ u_j \\ v_j \\ w_j \end{bmatrix} = \begin{matrix} f \\ - \end{matrix} \quad (2.8)$$

misma que en forma simbólica constituye la ec.(1.1), que es el modelo estructural en estudio.

2.2 - Ecuaciones de Equilibrio de una barra descrita sobre Sistemas de Referencia Arbitrarios.

Debido a que la ec.(1.1) esta asociada a la referencia local de la barra, fig.(1.2), para plantear el equilibrio de la estructura, es necesario transformar a una referencia global cada una de ellas. Por lo cual el modelo de la barra queda expresado de la siguiente manera :

$$\begin{matrix} _o & & & & _e \\ f & + & k & u & = & f \\ - & & - & - & & - \end{matrix} \quad (2.9)$$

donde :

$$\begin{matrix} _o & & _T & o \\ f & = & a & f \\ - & & - & - \end{matrix} \quad (2.10)$$

$$\begin{matrix} & & _T & & \\ & & a & k & a \\ - & & - & - & - \end{matrix} \quad (2.11)$$

$$\begin{matrix} & & _T & & \\ u & = & a & u \\ - & & - & - & \end{matrix} \quad (2.12)$$

$$\begin{matrix} _e & & _T & e \\ f & = & a & f \\ - & & - & - \end{matrix} \quad (2.13)$$

T

es la transpuesta de la matriz de transformación de la barra. Cuya definición es :

$$T = \begin{pmatrix} T & & & & & & \\ & a & & 0 & & & \\ & & & & & & \\ & & & & T & & \\ & 0 & & & & a & \\ & & & & & & \end{pmatrix} \quad (2.14)$$

que en forma explícita se escribe como :

$$T = \begin{pmatrix} c & -s & 0 & 0 & 0 & 0 \\ s & c & 0 & 0 & 0 & 0 \\ 0 & 0 & 1 & 0 & 0 & 0 \\ 0 & 0 & 0 & c & -s & 0 \\ 0 & 0 & 0 & s & c & 0 \\ 0 & 0 & 0 & 0 & 0 & 1 \end{pmatrix} \quad (2.15)$$

c es el coseno del ángulo que se forma entre el sistema local y global de la barra.

s es el seno del ángulo que se forma entre el sistema local y global de la barra.

2.3 - Vector de Fuerzas de fijación. \mathbf{f}

Como se dijo anteriormente el término \mathbf{f} , de la ec. (1.1), se le denomina vector de fuerzas de fijación de la barra, debido a que está formado con las fuerzas generalizadas de fijación en los puntos nodales frontera. Posee 6 componentes que dependen de las cargas externas que actúan en los puntos intermedios de la barra, así como la geometría de la misma, es decir

$$\mathbf{f} = \begin{bmatrix} 0 \\ F_{ix} \\ 0 \\ F_{iy} \\ 0 \\ M_{iz} \\ 0 \\ F_{jx} \\ 0 \\ F_{jy} \\ 0 \\ M_{jz} \end{bmatrix} \quad (2.16)$$

2.3.1 - Fuerzas de Fijación

En la fig. (2.3) se muestra que, aunque el sistema de cargas sea complejo, este se puede descomponer en varios sistemas de cargas simples, debido a la linealidad del modelo matemático que los gobierna. Por tanto para N sistemas de cargas simples, se tiene -

la expresión siguiente :

$$\begin{aligned}
 & \begin{matrix} 0 \\ f \\ - \end{matrix} = \begin{pmatrix} \sum_{E=1}^N W E & o(m) \\ & F_{ix} \\ \sum_{E=1}^N W E & o(m) \\ & F_{iy} \\ \sum_{E=1}^N W E & o(m) \\ & M_{iz} \\ \sum_{E=1}^N W E & o(m) \\ & F_{jx} \\ \sum_{E=1}^N W E & o(m) \\ & F_{jy} \\ \sum_{E=1}^N W E & o(m) \\ & M_{jz} \end{pmatrix}
 \end{aligned}
 \tag{2.17}$$

Se presentan en los siguientes incisos las formulas para obtener las fuerzas de fijación para las condiciones de carga empleadas.

2.3.1.1 - Par Concentrado

En la fig. (2.5.a) se muestra esta condición de carga. Sus reacciones son :

$$f_{iy} = \frac{6a(L-a)}{(1+\phi_y)L} Mz \quad (2.18)$$

$$M_{iz} = \frac{(L-a)(3a-L-\phi_y)}{(1+\phi_y)L} Mz \quad (2.19)$$

$$f_{jy} = - f_{iy} \quad (2.20)$$

$$M_{jz} = \frac{a(2L-3a-\phi_y L)}{(1+\phi_y)L} Mz \quad (2.21)$$

2.3.1.2 - Carga Línea) Discontinua (fig. (2.5.b))

$$f_{iy} = \frac{(L-a-b)}{(1+\phi_y)L} \left[b(3l-2b)(w_1+w_2) + (L-a-b)(L(L-a)(3w_1+w_2) - \dots \right]$$

$$b(L-6a+2b)w_1 + b(L+2a-2b)w_2 - (1-a-b)(4w_1 + \dots$$

$$w_2) + \rho y L (2(L-a-2b)w_1 + (L-a+b)w_2$$

(2.22)

$$o \quad (L-a-b)$$

$$M_{iz} = \frac{\dots}{2(1+Dy)} \quad b(L-b)(w_1+w_2) + (L-a-b)((L-aL+3ab)(3w_1 + \dots$$

$$w_2) - b(4L+3b)w_1 - 3b w_2) - (L-a-b)(4w_1 + w_2) + \dots$$

$$\rho y L (L - 10bL + 2aL + 2ab - 3a - b)w_1 + (L + 2ab - \dots$$

$$a - 3b)w_2)$$

(2.23)

$$o \quad o$$

$$f_{jy} = (L-a-b)(w_1+w_2) - f_{iy} \quad (2.24)$$

$$o \quad o \quad o$$

$$M_{jz} = f_{iy}L - M_{iz} - (L-a-b)((2L-2a+b)w_1 + (L-a-2b)w_2) \quad (2.25)$$

Particularizando esta condición de carga, puede ser empleada para resolver los siguientes tipos de carga :

- Carga uniforme continua

- Carga uniforme discontinua
- Carga lineal continua
- Carga lineal discontinua
- fuerza concentrada

2.3.2 - Corrección de las Fuerzas de Fijación por Articulaciones en los Puntos Nodales.

El vector de fuerzas de fijación, mencionado anteriormente, - corresponde a una barra doblemente empotrada. Al estar articulados algunos de los nudos debe corregirse las fuerzas de fijación.

2.3.2.1 - Barra articulada en el punto nodal i

$$V_i = V_i - (1+FT) \frac{2-\delta y}{l} \quad (2.26) \quad \text{donde } FT = \frac{4+\delta y}{l} \quad (2.30)$$

$$M_j = M_j + (1+FT) \frac{4+\delta y}{l} \quad (2.27)$$

$$M_i = 0 \quad (2.28)$$

$$M_j = M_j - FT M_i \quad (2.29)$$

los superíndices significan :

a barra articulada

e barra empotrada

2.3.2.2 - Barra articulada en el punto nodal j

$$V_i = V_i - \frac{M_j}{l} \quad (2.31)$$

$$V_j = V_j + \frac{M_j}{l} \quad (2.32)$$

$$M_i = M_i - FT M_j \quad (2.33)$$

$$M_j = 0 \quad (2.34)$$

2.3.2.3 - Barra articulada en ambos puntos nodales.

En este caso los cortantes son iguales al caso de barras doblemente empotradas y los momentos de empotramiento tienen valor nulo ambos.

2.3.3 - Referencia Global

De acuerdo con la ec. (2.10) se obtiene vector de fuerzas transformado a la referencia global.

$$\begin{array}{c}
 \begin{array}{ccc}
 _o & _T & o \\
 f & = & a & f & = \\
 - & - & - & &
 \end{array} \\
 \\
 \begin{array}{c}
 \begin{array}{cc}
 o & o \\
 c F_{ix} & - & s F_{iy} \\
 \\
 o & o \\
 s F_{ix} & + & c F_{iy} \\
 \\
 o & \\
 & M_{iz} \\
 \\
 o & o \\
 c F_{jx} & - & s F_{jy} \\
 \\
 o & o \\
 s F_{jx} & + & c F_{jy} \\
 \\
 o & \\
 & M_{jz}
 \end{array}
 \end{array}
 \end{array}
 \quad (2.35)$$

2.4 - Vectores de fuerzas generalizadas o elementos mecánicos de la barra cinemáticamente determinada.

Al agrupar los vectores de los elementos mecánicos, ecuaciones (2.7.5), (2.7.10), (2.7.15), (2.7.20), (2.7.25), y (2.7.30), para las seis configuraciones deformadas de la barra, en forma matricial, se obtiene la matriz de rigidez k .

2.4.1 - Matriz de Rigideces de la barra. Referencia local.

La matriz de rigideces de la barra, es un arreglo cuadrado de orden 6, que depende únicamente de la geometría y material de la misma.

2.4.1.1 - Barra doblemente empotrada

A continuación se presenta la matriz de rigideces de una barra en referencia local :

$$\mathbf{k} = \begin{bmatrix} \frac{EA}{L} & 0 & 0 & -\frac{EA}{L} & 0 & 0 \\ 0 & \frac{12EI}{(1+\nu Y)L^3} & \frac{6EI}{(1+\nu Y)L^2} & 0 & -\frac{12EI}{(1+\nu Y)L^3} & \frac{6EI}{(1+\nu Y)L^2} \\ 0 & \frac{6EI}{(1+\nu Y)L^2} & \frac{(4+\nu Y)EI}{(1+\nu Y)L} & 0 & -\frac{6EI}{(1+\nu Y)L} & \frac{(2-\nu Y)EI}{(1+\nu Y)L} \\ -\frac{EA}{L} & 0 & 0 & \frac{EA}{L} & 0 & 0 \\ 0 & -\frac{12EI}{(1+\nu Y)L^3} & -\frac{6EI}{(1+\nu Y)L^2} & 0 & 0 & -\frac{6EI}{(1+\nu Y)L^2} \\ 0 & \frac{6EI}{(1+\nu Y)L^2} & \frac{(2-\nu Y)EI}{(1+\nu Y)L} & 0 & -\frac{6EI}{(1+\nu Y)L^2} & \frac{(4+\nu Y)EI}{(1+\nu Y)L} \end{bmatrix} \quad (2.36)$$

2.4.1.2 - Barra Articulada en el Punto nodal i

La matriz de rigidez mostrada en el inciso anterior, implica que los nodos de la barra tienen capacidad para absorber momento. Cuando no es así se debe corregir dicha matriz.

De la expresión matricial k_u se puede escribir :

$$F_{ix} = k_{11} u_i + k_{14} u_j \quad (2.36)$$

$$F_{iy} = k_{22} v_i + k_{23} w_i + k_{25} v_j + k_{26} w_j \quad (2.37)$$

$$F_{iz} = k_{32} v_i + k_{33} w_i + k_{35} v_j + k_{36} w_j \quad (2.38)$$

$$F_{jx} = k_{41} u_i + k_{44} u_j \quad (2.39)$$

$$F_{jy} = k_{53} v_i + k_{53} w_i + k_{55} v_j + k_{56} w_j \quad (2.40)$$

$$F_{jz} = k_{62} v_i + k_{63} w_i + k_{65} v_j + k_{66} w_j \quad (2.41)$$

Si la barra esta articulada en el punto nodal i el momento en dicho punto debe ser nulo. Por lo tanto $F_{iz} = 0$

$$0 = k_{32} v_i + k_{33} w_i + k_{35} v_j + k_{36} w_j \quad (2.42)$$

despejando w_i

i

$$w_i = - \frac{k_{32} v_i + k_{35} v_j + k_{36} w_j}{k_{33}} \quad (2.43)$$

k33

y se puede afirmar que el desplazamiento angular w_i es linealmente dependiente de los demás desplazamientos. Al sustituir la ec. (2.43) en las ecs. (2.36) a (2.41), para posteriormente ordenar en forma matricial se obtiene :

$$\begin{array}{r}
 i \\
 k = \\
 -
 \end{array}
 \left[
 \begin{array}{cccccc}
 k_{11} & 0 & 0 & k_{14} & 0 & 0 \\
 0 & \frac{(1+\beta\gamma)k_{22}}{4+\beta\gamma} & 0 & 0 & \frac{(1+\beta\gamma)k_{25}}{4+\beta\gamma} & \frac{2(1+\beta\gamma)k_{26}}{4-\beta\gamma} \\
 0 & 0 & 0 & 0 & 0 & 0 \\
 k_{41} & 0 & 0 & k_{44} & 0 & 0 \\
 0 & \frac{(1+\beta\gamma)k_{52}}{4+\beta\gamma} & 0 & 0 & \frac{(1+\beta\gamma)k_{55}}{4+\beta\gamma} & \frac{2(1+\beta\gamma)k_{56}}{4+\beta\gamma} \\
 0 & \frac{2(1+\beta\gamma)k_{62}}{4+\beta\gamma} & 0 & 0 & \frac{2(1+\beta\gamma)k_{65}}{4+\beta\gamma} & \frac{12(1+\beta\gamma)k_{66}}{4+\beta\gamma}
 \end{array}
 \right]
 \quad (2.44)$$

donde los términos k_{ij} son los términos de la matriz de rigideces de la barra considerada doblemente empotrada, ecuación (2.36).

2.4.1.3 - Barra Articulada en el Punto Nodal j

De manera análoga al inciso anterior, el desplazamiento en j es linealmente dependiente y se puede calcular como :

1

$$w_j = - \frac{1}{k_{66}} (k_{62} v_i + k_{63} w_i + k_{65} v_j) \quad (2.45)$$

$$k_{66}$$

y la matriz de rigideces corregida es :

$$\begin{array}{c}
 j \\
 k = \\
 -
 \end{array}
 \left(
 \begin{array}{cccccc}
 k_{11} & 0 & 0 & k_{14} & 0 & 0 \\
 0 & \frac{(1+\phi Y)k_{22}}{4+\phi Y} & \frac{2(1+\phi Y)k_{23}}{4+\phi Y} & 0 & \frac{(1+\phi Y)k_{25}}{4+\phi Y} & 0 \\
 0 & \frac{2(1+\phi Y)k_{32}}{4+\phi Y} & \frac{12(1+\phi Y)k_{33}}{4+\phi Y} & 0 & \frac{2(1+\phi Y)k_{35}}{4+\phi Y} & 0 \\
 k_{41} & 0 & 0 & k_{44} & 0 & 0 \\
 0 & \frac{(1+\phi Y)k_{52}}{4+\phi Y} & \frac{2(1+\phi Y)k_{53}}{4+\phi Y} & 0 & \frac{(1+\phi Y)k_{55}}{4+\phi Y} & 0 \\
 0 & 0 & 0 & 0 & 0 & 0
 \end{array}
 \right) \quad (2.46)$$

donde los términos k_{ij} son los términos de la matriz de rigideces de la barra considerada doblemente empotrada, ecuación (2.36).

2.4.1.4 - Barra Articulada en ambos Extremos

Los giros se pueden valorar con las siguientes expresiones :

$$w_i = \frac{1}{L} (V_j - V_i) \quad (2.47)$$

$$w_j = \frac{1}{L} (V_i - V_j) \quad (2.48)$$

y la matriz de rigideces corregida es :

$$k_{ij} = \begin{pmatrix} k_{11} & 0 & 0 & k_{14} & 0 & 0 \\ 0 & 0 & 0 & 0 & 0 & 0 \\ 0 & 0 & 0 & 0 & 0 & 0 \\ k_{41} & 0 & 0 & k_{44} & 0 & 0 \\ 0 & 0 & 0 & 0 & 0 & 0 \\ 0 & 0 & 0 & 0 & 0 & 0 \end{pmatrix} \quad (2.49)$$

donde los terminos k_{ij} son los terminos de la matriz de rigideces de la barra considerada doblemente empotrada, ec(2.36).

2.4.2 - Matriz de Rigideces de la barra. Referencia Global

Al aplicar la ec. (2.11) se obtiene la matriz de rigidez de la barra en referencia global o de la estructura.

2.4.2.1 - Barra Doblemente Empotrada

Al sustituir la ec. (2.36) en la ec. (2.11) se obtiene la matriz de rigideces de la barra en referencia global, ec. (2.50).

En ella se muestra la matriz de rigideces de la barra en referencia global, expresada en terminos de los componentes de referencia local y los componentes de la matriz de cosenos directores para la barra plana.

$$\begin{array}{ccccccc}
 c^2 k_{11} + s^2 k_{22} & cs(k_{11} - k_{22}) & -sk_{23} & c^2 k_{14} + s^2 k_{25} & cs(k_{14} - k_{25}) & -sk_{26} & \\
 \hline
 s^2 k_{11} + c^2 k_{22} & ck_{23} & sc(k_{14} - k_{25}) & s^2 k_{14} + c^2 k_{25} & ck_{26} & & \\
 \hline
 & k_{33} & -sk_{35} & ck_{35} & k_{36} & & \\
 \hline
 \text{SIMETRICA} & & c^2 k_{44} + s^2 k_{55} & cs(k_{44} - k_{55}) & -sk_{56} & & \\
 \hline
 & & & s^2 k_{44} + c^2 k_{55} & ck_{56} & & \\
 \hline
 k_{ij} = \text{coeficientes de la referencia local} & & & & & & k_{66}
 \end{array}$$

(2.50)

2.4.2.2 - Barra con Articulaciones

La matriz de rigidez, en referencia global, para barras con articulaciones en los puntos nodales, se obtiene con la expresión (2.50); siendo k_{ij} los coeficientes de rigideces corregidos de las matrices correspondientes en referencia local para cuando se

tienen articulaciones en los puntos nodales.

2.5 - Vector de Fuerzas Externas.

El vector \underline{f}^e se le conoce con el nombre de vector de fuerzas externas o equilibrantes formado por las acciones de nudo sobre barra.

2.5.1 - Referencia Local.

Posée 6 componentes, según se indica en la expresión siguiente :

$$\underline{f}^e = \begin{pmatrix} e \\ F_{ix} \\ e \\ F_{iy} \\ e \\ M_{iz} \\ e \\ F_{jx} \\ e \\ F_{jy} \\ e \\ M_{jz} \end{pmatrix} \quad (2.51)$$

2.5.2 - Referencia Global

De acuerdo a la ec. (2.13) el vector de fuerzas externas en referencia global queda así :

$$\begin{matrix}
 \underline{e} \\
 \underline{f} \\
 -
 \end{matrix}
 =
 \begin{pmatrix}
 e & e \\
 cF_{ix} - sF_{iy} & \\
 e & e \\
 sF_{ix} - cF_{iy} & \\
 e & \\
 M_{iz} & \\
 e & e \\
 cF_{jx} - sF_{jy} & \\
 e & e \\
 sF_{jy} - cF_{jx} & \\
 e & \\
 M_{jz} &
 \end{pmatrix}
 \quad (2.52)$$

2.6 - Vector de Desplazamientos

Al vector u se le conoce con el nombre de vector de desplazamientos de la barra. Esta formado con los desplazamientos generalizados de los dos puntos nodales y posee 6 componentes.

$$u = \begin{pmatrix} u_i \\ v_i \\ w_i \\ u_j \\ v_j \\ w_j \end{pmatrix} \quad (2.53)$$

El vector de desplazamientos de la barra, referido al sistema local, se cuantifica mediante la ec.(2.12), que en forma desarrollada se expresa así :

$$\begin{array}{r}
 \begin{array}{c}
 \text{---} \\
 \text{u} = \text{a u} = \\
 \text{---}
 \end{array}
 \end{array}
 \begin{array}{c}
 \left(\begin{array}{c}
 \text{cui} + \text{svi} \\
 \\
 \text{cvi} - \text{sui} \\
 \\
 \text{wi} \\
 \\
 \text{cuj} + \text{svj} \\
 \\
 \text{cvj} - \text{su}j \\
 \\
 \text{wj}
 \end{array} \right)
 \end{array}
 \quad (2.54)$$

CAPITULO TRES

ECUACIONES DE EQUILIBRIO DE LA ESTRUCTURA

3.1 - Equilibrio Estructural

El equilibrio de la estructura se establece al plantear el equilibrio de cada una de las barras que la componen. Para ello se utiliza la ecuación de equilibrio de la barra referida al sistema global.

$$\begin{matrix} \text{---} & \text{---} & \text{---} \\ f & + & k u = f \\ \text{---} & \text{---} & \text{---} \end{matrix} \quad (3.0)$$

por lo que las ecuaciones de equilibrio de la estructura deben estar referidas al sistema global, y se expresa en la forma siguiente :

$$\begin{matrix} \text{NBA} & \text{---} & \text{---} & & \text{NBA} & \text{---} \\ \sum & f & + & k & u & = & \sum & f \\ m=1 & \text{---} & \text{---} & \text{---} & \text{---} & & m=1 & \text{---} \\ & \text{---} & \text{---} & \text{---} & \text{---} & & \text{---} & \text{---} \end{matrix} \quad (3.1)$$

donde

NBA representa al número de barras que componen la estructura.

Al ordenar los términos de la ecuación (3.1), en base a los arreglos vectoriales de la estructura, $\begin{matrix} \text{---} \\ f \end{matrix}$, $\begin{matrix} \text{---} \\ u \end{matrix}$ y $\begin{matrix} \text{---} \\ f \end{matrix}$, se obtiene la ecuación matricial siguiente :

$$\begin{matrix} \text{---} & & & & \text{---} \\ F & + & K & U & = & F \\ \text{---} & & \text{---} & \text{---} & & \text{---} \end{matrix} \quad (3.2)$$

donde

- K es la matriz de rigideces de la estructura, y se
- forma con las componentes de las matrices de rigideces de las barras.

En la ecuación (3.2), las cantidades conocidas son el vector de fuerzas de fijación \underline{F}^0 , el vector de fuerzas externas nodales \underline{F}^e y la matriz de rigideces \underline{K} , mientras que el vector de desplazamientos \underline{U} es desconocido. Tal ecuación se acostumbra escribir como :

$$\underline{K} \underline{U} = \underline{P} \quad (3.3)$$

donde el vector \underline{P} se le denomina vector de cargas de la estructura, que es igual a :

$$\underline{P} = \underline{F}^e - \underline{F}^0 \quad (3.4)$$

que mas adelante se explica.

3.2 - Formación de la Matriz de Rigideces

Las barras pueden orientarse en la dirección y sentido que se prefiera, estableciendose el sentido de la misma del nodo i hacia el nodo j.

3.2.1 - Indicadores de Ecuacion

El indicador de ecuación, " IE " , es un vector auxiliar de números enteros que permite ensamblar los elementos de la matriz de rigideces y vector de fuerzas de cada barra, en sus respectivos arreglos numéricos de la estructura.

El proceso para obtener dichos indicadores es el siguiente :

- 1o-. Establecer un código numérico que relacione, el tipo de desplazamiento en el nudo (horizontal,vertical,angular), a su condición de frontera (prescrito,nulo,libre)

Ejemplo :

HORIZONTAL	----	>	}	NULO	=	1
VERTICAL	----	>	}	LIBRE	=	0
ANGULAR	----	>	}	PRESCRITO	=	-1

De la figura 3.1 la codificación de las condiciones frontera como sigue :

NUDO					
1	2	3	4	5	6
1	0	0	1	0	1
1	0	0	1	0	1
1	0	0	0	0	1

2b-. Renumerar las condiciones frontera codificadas

del mismo ejemplo :

NUDD					
1	2	3	4	5	6
0	1	4	0	8	0
0	2	5	0	9	0
0	3	6	7	10	0

De esta segunda tabla se obtiene lo que se simboliza como " ID "; que significa : Indicador de Desplazamiento.

Ahora bien, el indicador de Ecuación se forma con los " ID " correspondientes al nodo i y j de la barra, como lo indica la siguiente expresión :

$$IE(N) = ID(N_i) \langle \text{union} \rangle ID(N_j) \quad (3.5)$$

donde :

N es el número de barra

N_i es el nodo i de la misma

N_j es el nodo j

Ejemplo :

$$IE(1) = ID(1) \cup ID(2)$$

$$IE(1) = 0, 0, 0, 1, 2, 3$$

$$IE(2) = ID(4) \cup ID(3)$$

$$IE(2) = 0, 0, 7, 4, 5, 6$$

3.2.2 - Ensamble

Con los indicadores de ecuación y las matrices de rigideces de cada barra, en referencia global, se lleva a cabo el ensamble de la matriz de rigideces de la estructura.

Del ejemplo en estudio el máximo número, resultado de la reenumeración efectuada, es igual a 10; esto significa que el número de grados de libertad de la estructura es de 10, y por lo tanto la matriz de rigideces es de 10×10 .

En la fig.(3.2) se ejemplifica gráficamente el ensamble de la matriz de rigidez de la barra 3. Además en 3.2.b. están sombreadas las zonas que ocupa la matriz de cada elemento que compone la estructura de ejemplo.

3.3 - Formación del Vector de Cargas

Como se mencionó anteriormente el vector de fuerzas de la estructura, P , queda definido con la siguiente expresión :

$$\begin{array}{ccccccc}
 & & & e & & o & \\
 P & = & F & - & F & & (3.4) \\
 - & & - & & - & &
 \end{array}$$

donde : \bullet

F es el vector de fuerzas externas de la estructura

- o

F es el vector de fuerzas de fijación de la estructura

-

3.3.1 - Vector de Fuerzas Externas

La formación del vector de fuerzas externas se hace en forma directa, sin tener que construir los vectores \underline{f}^e y $\underline{\bar{f}}^e$ de cada barra. Los componentes del mismo son las concentraciones externas en los nudos.

La posición que debe ocupar cada una de las fuerzas concentradas en los nudos, se determina con la ayuda de los indicadores de desplazamiento (ID).

Cabe aclarar que si la estructura está formada por varias barras, será muy usual que la carga externa este actuando en un punto nodal común a varias barras. Cuando esto sucede, no es necesario pensar en dividir a priori, la parte de carga correspondiente a cada barra, debido a que la suma de cargas exteriores de todas las barras que concurren al punto nodal en cuestión, será igual a la carga actuante en dicho punto nodal.

3.3.2 - Vector de Fuerzas de Fijación

Para formar el vector de fuerzas de fijación de la estructura es necesario calcular, para cada barra cargada, los vectores \underline{f}^0 y \underline{f}^0 .

El ensamble de los vectores de fuerzas de fijación de cada barra, en el vector de la estructura requiere el empleo de los indicadores de ecuación (IE).

3.4 - Condiciones de frontera de la estructura

En toda estructura existen puntos nodales frontera que tienen componentes de desplazamiento conocidos, y desde luego, deben satisfacer la ecuación de equilibrio (3.3). A los puntos con desplazamientos conocidos se les denomina con el nombre de puntos frontera.

La forma de introducir las condiciones de frontera, dependerá de si los valores son prescritos, nulos o desconocidos.

3.4.1 - Desplazamientos Prescritos

Cuando se llegan a presentar en una estructura desplazamientos con un valor diferente de cero y este puede establecerse de antemano, se llamará desplazamiento prescrito.

Esto puede llegar a suceder cuando se prevee que las deformaciones en los elementos cargados pueden llegar a producir incrementos en las fuerzas de fijación de la estructura. Otro caso se presenta cuando por condiciones de apoyo en el terreno, este llega a tener asentamientos diferenciales. En ambos casos es

importante conocer el comportamiento de la misma.

Al presentarse un desplazamiento de este tipo en un apoyo se afectan directamente algunos puntos nodales de la estructura. Esto hace suponer que cada barra en el eje del apoyo desplazado sufre alteraciones propias y por consecuencia les transporta a las barras restantes su efecto.

Si el desplazamiento se multiplica por el coeficiente de rigidez correspondiente se obtiene una fuerza. De esta forma es como los desplazamientos prescritos son involucrados en el proceso de solución estructural. Los valores obtenidos de esta manera pasan a formar parte del vector de fuerzas de fijación de la barra, mismos que son ensamblados en el vector de fuerzas de la estructura.

3.5 - Elementos Mecánicos y Cinemáticos de la Estructura.

Al resolver el sistema de ecuaciones generado por el desarrollo de la ecuación (3.3), se obtienen los desplazamientos o elementos cinemáticos de la estructura.

Con el auxilio de los indicadores de desplazamiento, estos se separan del vector solución de la estructura, para sustituirse en la ecuación siguiente :

$$\begin{array}{ccccccc} & & & & & & e \\ & & & & & & \\ & & & & & & \\ o & & & & & & \\ & & & & & & \\ f & + & k & u & = & f & (3.6) \\ - & & - & - & & - & \end{array}$$

Para transformar los desplazamientos del sistema de referencia global a local se utiliza la expresión (2.56), que a continuación se recuerda :

$$\begin{array}{c}
 \begin{array}{c} \text{---} \\ \text{---} \\ \text{---} \end{array} \\
 \mathbf{u} = \mathbf{a} \mathbf{u} = \\
 \begin{array}{c} \text{---} \\ \text{---} \\ \text{---} \end{array}
 \end{array}
 \left[\begin{array}{c}
 c_{ui} + s_{vi} \\
 c_{vj} - s_{uj} \\
 \text{---} \\
 w_i \\
 \text{---} \\
 c_{uj} + s_{vj} \\
 c_{vj} - s_{uj} \\
 \text{---} \\
 w_j
 \end{array} \right]$$

CAPITULO CUATRO

SOLUCION DE ECUACIONES DE EQUILIBRIO

4- SOLUCION DE ECUACIONES DE EQUILIBRIO

4.1 - Introducción

Con base en los capítulos anteriores, las ecuaciones de equilibrio de cualquier estructura sometida a cargas estáticas se puede escribir como :

$$K U = P \quad (4.0)$$

donde :

K es la matriz de rigideces de la estructura

-

P es el vector de cargas

-

U es el vector de desplazamientos de la estructura,

- que es desconocido

La ec. (4.0) corresponde al modelo matemático asociado al sistema de ecuaciones algebraicas lineales indicado a continuación :

$$A x = b \quad (4.1)$$

- - -

donde :

A es una matriz cuadrada de $n \times n$, columnas por renglones, que en nuestro caso representa la matriz de rigideces de la estructura

x es el vector de desplazamientos

-

b es el vector de cargas, ambos de dimensión n .

-

Los métodos para resolver la ec. (4.1) se dividen en dos grupos :

a) Iterativos

b) Directos

Los directos se basan en la eliminación Gaussiana y los que se adaptan a la computadora se denominan como compactos.

4.2 - Métodos Directos.

Los métodos directos se basan en el concepto de triangulación, en donde la matriz A se hace equivalente a una matriz triangular o bien al producto de dos triangulares. Los métodos directos más conocidos son el método de eliminación de Gauss y los compactos se basan fundamentalmente en el método de Crout.

El método de Gauss consiste en transformar la ec. (4.1) a la forma :

$$U x = y \quad (4.2)$$

- - - - -

donde :

U es una matriz triangular superior, que se obtiene mediante un proceso de reducción de coeficientes.

Al tener la matriz triangulada, se efectúa la sustitución -

hacia atrás, donde se resuelve el sistema triangular para la obtención de las incógnitas x .

Los métodos compactos, que transforman el problema original en dos sistemas de ecuaciones triangulares, se basan en el teorema de álgebra lineal que establece lo siguiente :

"Toda matriz A no singular, se puede descomponer en el producto de dos matrices triangulares, una inferior (L) y otra superior (U), como se indica a continuación

$$A = L U \quad (4.3)$$

- - -

con la condición de que alguna este normalizada"

Cuando la matriz triangular inferior esta normalizada ($U_{ij}=1$), se tiene método de Crout y si la matriz triangular inferior esta normalizada ($L_{ij}=1$) se tiene el método de Gauss.

El procedimiento de los métodos compactos consiste en sustituir la ecuación (4.3) en la ecuación (4.1), es decir :

$$L U x = b \quad (4.4)$$

- - - -

La reducción de incógnitas se logra mediante la sustitución de la ec. (4.2) en la ec. (4.4), obteniendose lo siguiente

$$L y = b \quad (4.5)$$

Los pasos requeridos por los métodos compactos para la solución de ecuaciones algebraicas se resume a continuación.

- a) Obtención de las matrices triangulares L y U , triangulación (4.3).
- b) Obtención del vector auxiliar y , sustitución hacia adelante (4.5).
- c) Obtención del vector incógnita x , sustitución hacia atrás (4.2).

4.2.1 - Triangulación

El proceso de obtención de las matrices triangulares de la original, se denomina triangulación. En dicho proceso el vector de términos independientes, vector de cargas, es independiente del mismo. Al escribir la ec. (4.3) en forma desarrollada se tiene

$$\begin{pmatrix} A_{11} & A_{12} & A_{13} & \dots & A_{1n} \\ A_{21} & A_{22} & A_{23} & \dots & A_{2n} \\ A_{31} & A_{32} & A_{33} & \dots & A_{3n} \\ \cdot & \cdot & \cdot & \cdot & \cdot \\ \cdot & \cdot & \cdot & \cdot & \cdot \\ A_{n1} & A_{n2} & A_{n3} & \dots & A_{nn} \end{pmatrix} = \begin{pmatrix} 1 & 0 & 0 & \dots & 0 \\ L_{21} & 1 & 0 & \dots & 0 \\ L_{31} & L_{32} & 1 & \dots & 0 \\ \cdot & \cdot & \cdot & \cdot & \cdot \\ \cdot & \cdot & \cdot & \cdot & \cdot \\ L_{n1} & L_{n2} & L_{n3} & \dots & 1 \end{pmatrix} \begin{pmatrix} U_{11} & U_{12} & U_{13} & \dots & U_{1n} \\ 0 & U_{22} & U_{23} & \dots & U_{2n} \\ 0 & 0 & U_{33} & \dots & U_{3n} \\ \cdot & \cdot & \cdot & \cdot & \cdot \\ \cdot & \cdot & \cdot & \cdot & \cdot \\ 0 & 0 & 0 & \dots & U_{nn} \end{pmatrix} \quad (4.3)$$

Al efectuar el producto matricial $\underline{L} \underline{U}$ e igualando a la matriz \underline{A} , se obtienen las expresiones generalizadas, por medio de las cuales las matrices triangulares se calculan. Conforme a la ref. (5), dichas expresiones son

$$U_{ij} = A_{ij} \quad \begin{matrix} i=1 \\ j=1,2,3,\dots,n \end{matrix} \quad (4.6)$$

$$L_{ii} = (A_{ij})/U_{ij} \quad \begin{matrix} i=2,\dots,n \end{matrix} \quad (4.7)$$

$$U_{ij} = A_{ij} - \sum_{k=j}^{j-1} L_{ik} U_{kj} \quad \begin{matrix} i=2,\dots,n \\ j=i,\dots,n \end{matrix} \quad (4.8)$$

$$L_{ij} = (A_{ij} - \sum_{k=j}^{j-1} L_{ik} U_{kj})/U_{jj} \quad \begin{matrix} i=j+1,\dots,n \\ j=2,\dots,n \end{matrix} \quad (4.9)$$

En los métodos de Gauss y Crout modificados para matrices simétricas puede escribirse, respectivamente, lo siguiente

$$A = L^{-1} D L \quad (4.10)$$

$$A = U D U^{-1} \quad (4.11)$$

donde :

D es una matriz diagonal formada con las diagonales no normalizadas de \underline{L} o de \underline{U} , y por lo tanto también simétrica.

4.2.2 - Sustitución hacia adelante.

$$\begin{pmatrix} 1 & 0 & 0 & \dots & 0 \\ L_{21} & 1 & 0 & \dots & 0 \\ L_{31} & L_{32} & 1 & \dots & 0 \\ \cdot & \cdot & \cdot & \cdot & \cdot \\ \cdot & \cdot & \cdot & \cdot & \cdot \\ L_{n1} & L_{n2} & L_{n3} & \dots & L_{nn} \end{pmatrix} \begin{pmatrix} Y_1 \\ Y_2 \\ Y_3 \\ \cdot \\ \cdot \\ Y_n \end{pmatrix} = \begin{pmatrix} b_1 \\ b_2 \\ b_3 \\ \cdot \\ \cdot \\ b_n \end{pmatrix} \quad (4.5)$$

Al efectuar el producto de la matriz \underline{L} por el vector Y se obtienen las expresiones siguientes :

$$Y_1 = b_1 \quad (4.12)$$

$$L_{21} Y_1 + Y_2 = b_2 \quad (4.13)$$

$$L_{31} Y_1 + L_{32} Y_2 + Y_3 = b_3 \quad (4.14)$$

$$L_{n1} Y_1 + L_{n2} Y_2 + L_{n3} Y_3 + \dots + Y_n = b_n \quad (4.15)$$

al despejar los valores desconocidos de Y , puede resumirse el algoritmo de sustitución hacia adelante como sigue :

$$Y_1 = b_1 \quad (4.16)$$

$$Y_i = b_i - \sum_{k=2}^{i-1} U_{ik} Y_k \quad i=2 \dots n \quad (4.17)$$

4.2.3 - Sustitución hacia atrás.

Con lo anterior la sustitución hacia atrás puede realizarse, para dar solución al sistema.

Expresada en forma desarrollada la ec. (4.2) queda :

$$\begin{pmatrix} U_{11} & U_{12} & U_{13} & \dots & U_{1n} \\ 0 & U_{22} & U_{23} & \dots & U_{2n} \\ 0 & 0 & U_{33} & \dots & U_{3n} \\ \cdot & \cdot & \cdot & \cdot & \cdot \\ \cdot & \cdot & \cdot & \cdot & \cdot \\ 0 & 0 & 0 & & U_{nn} \end{pmatrix} \begin{pmatrix} X_1 \\ X_2 \\ X_3 \\ \cdot \\ \cdot \\ X_n \end{pmatrix} = \begin{pmatrix} Y_1 \\ Y_2 \\ Y_3 \\ \cdot \\ \cdot \\ Y_n \end{pmatrix} \quad (4.2)$$

Al desarrollar el producto de la matriz U por el vector X y ordenar las ecuaciones de atrás hacia adelante, puede resumirse el algoritmo como a continuación se expresa

$$X_n = Y_n / U_{nn} \quad (4.18)$$

$$X_i = (Y_i - \sum_{k=i+1}^n U_{ik} X_k) / U_{ii} \quad (4.19)$$

$$i=n-1 \dots 1$$

4.3 - Almacenamiento de la Matriz de Rigideces

Los coeficientes de la matriz de rigideces, en principio, dan lugar a arreglos bidimensionales cuadrados. Pero, por las características particulares de las matrices de estructuras, los coeficientes pueden almacenarse en otros tipos de arreglos, con lo que se logra eficiencia, tanto en el uso de la capacidad de memoria central del procesador, como en el número de operaciones asociadas a los algoritmos correspondientes a los métodos de solución.

4.3.1 - Arreglos Cuadrados

El empleo de arreglos cuadrados, es decir de n columnas por n renglones, ocasiona desperdicios de capacidad de memoria en el procesador central. Esto se debe a que, en general, existen coeficientes nulos en la matriz de rigideces de la estructura, mismos que pudieran no ser almacenados. Además, del desperdicio de tiempo máquina.

Según el tipo de estructura y del tratamiento numérico que se haga en ella, existen zonas dentro de la matriz de rigideces de la misma, con características suficientemente útiles, que contribuyen al mejor aprovechamiento de la capacidad y tiempo de procesador.

4.3.2 - Arreglos Rectangulares

Los arreglos bidimensionales rectangulares o en banda son generados por un reacondo de los coeficientes no nulos de la ma-

triz de rigideces de una estructura cualquiera.

De acuerdo con la fig. (4.1), los coeficientes no nulos de la matriz A se encuentran alojados a lo largo de una franja paralela a la diagonal principal, limitado por el contorno de banda.

La franja limitada por el contorno de banda puede almacenar en un arreglo rectangular con el número de columna igual al ancho de banda, según se muestra en la fig (4.2) ; y al escribirla por renglones y columnas se obtiene la fig. (4.3).

Al observar la matriz de rigideces de la fig. (4.1) y comparandola con la fig. (4.3) se observa que la modificación que se tiene, es la nueva localidad que ocupa cada elemento, en donde el renglón i no se modifica y la columna j cambia, quedando la nueva localidad definida como :

$$A_{ij} = A_{i1} \quad (4.20)$$

(arreglo (arreglo
cuadrado) rectangular)

$$i = 1, \dots, n$$

$$j = 1, \dots, n$$

$$i = j + 1 - 1$$

En este tipo de arreglo, el número de localidades ocupadas (NLB) es :

$$NLB = n * NBAN \quad (4.21)$$

donde :

n es el orden de la matriz cuadrada

NBAN es el ancho de banda, definido mediante la siguiente expresión :

$$\text{NBAN} = \text{NGL} * (\text{MAXDIF} + 1) \quad (4.22)$$

NGL es el número de grados de libertad de la estructura.

MAXDIF es la máxima diferencia de numeración entre los nodos i y j de las barras de la estructura.

Al emplear cualquier método de solución de ecuaciones para arreglos cuadrados, se deben modificar los algoritmos, tanto en triangulación, como en la sustitución hacia atrás y hacia adelante.

4.3.3 - Arreglos Unidimensionales

El arreglo unidimensional, en silueta o skyline, al igual que los arreglos en banda, evita guardar elementos nulos de la matriz de la estructura, al almacenar la matriz de coeficientes A en un vector compacto.

El contorno de silueta, fig.(4.4), se forma a partir del primer elemento diferente de cero de cada columna, mismos que formaran un arreglo unidimensional, o vector, de coeficientes de rigidez de la estructura.

Para poder identificar los elementos del arreglo unidimensional con el cuadrado es necesario contar con la información de un vector auxiliar (MD), formado con las localidades que ocupan los elementos de la diagonal principal.

La equivalencia de un coeficiente en un arreglo unidimensional con un arreglo cuadrado es como sigue :

$$A_{ij} = A_m \quad (4.23)$$

(arreglo cuadrado) (arreglo unidimensional)

$$i = 1 \dots n$$

$$j = 1 \dots n$$

$$m = i + MD(j) - j$$

4.4 - Optimización de Métodos de Solución y empleo de Arreglos.

De acuerdo a lo expresado en la ref. (5), puede decirse que, el empleo de arreglos en silueta/simétrico, representa el tipo de almacenamiento con mayor ahorro de localidades en memoria, necesarias para dar solución a un sistema de ecuaciones algebraicas lineales. En lo que se refiere a los métodos de solución, el de mayor eficiencia resulta ser el de Gauss-Crout versión eficiente, tanto para arreglos cuadrados, en banda y en silueta; siendo este último el mejor de todos.

Existen algunos criterios de numeración de nodos para obtener un ancho de banda conveniente para el caso de arreglos rectangulares o un número óptimo de elementos para arreglo unidimensional.

nal.

La forma de obtener un arreglo en banda o unidimensional eficiente es mediante la numeración de los puntos nodales de la estructura. Cuando la diferencia entre dos puntos nodales consecutivos sea lo más pequeña posible se garantiza un arreglo conveniente.

Para ejemplificar lo anterior se presenta una variedad de estructuras con la respectiva representación de su matriz de rigideces en la fig.(4.5). Con el propósito de comparar, cada estructura posee 20 nudos con tres grados de libertad cada uno. Por tanto, el arreglo matricial de cada una de las mismas es de 60×60 ; sin embargo, por brevedad, la representación corresponde a una matriz de 20×20 columnas- renglones, en donde cada subarreglo de 3×3 se indica con la letra X.

La fig.(4.5.a) muestra un ejemplo de matriz-estructura, en el cual resulta conveniente el empleo de arreglo rectangular, o en banda. Esto se debe a que la banda de coeficientes de rigidez no contiene elementos nulos en su interior; además que, por ser "angosta" la banda, el número de elementos necesarios para completar el rectángulo, es menor que el vector auxiliar necesario para almacenar la matriz en un arreglo unidimensional, como requiere el método de arreglo por silueta.

Las fig.(4.5.b) y (4.5.c) ejemplifican de una manera clara, la importancia de escoger la numeración externa adecuada de los nudos formados por los elementos barras que la componen. En la fig.(4.5.c) el ancho de banda es de 33, en tanto que en la fig.

(4.5.b) el mismo parámetro es de 6. Ahora bien, en el caso de la fig.(4.5.c) el almacenamiento unidimensional resulta mas adecuado.

Por último, en las ultimas 3 figuras, puede notarse claramente, lo determinante que resulta la numeración adecuada de los nudos y la importancia del uso de almacenamientos unidimensionales.

CAPITULO CINCO

PROGRAMA DE COMPUTADORA

5 - PROGRAMA DE COMPUTADORA

5.1 - Características.

En los siguientes tres incisos, se describe brevemente el tipo de computadora utilizada en el desarrollo de los programas presentados, el sistema operativo y lenguaje empleados. Información complementaria al respecto se encuentra en las ref. (6), (7) y (8).

5.1.1 - Computadora

El tipo de máquina empleada en el desarrollo de los programas presentados, es una microcomputadora FRANKLIN ACE 1000 o similar; de 64 Kb de memoria RAM, con dos unidades de disco flexible.

5.1.2 - Sistema Operativo

El Sistema Operativo empleado es el UCSD Pascal, el cual es un paquete completo de software de propósito general para usuarios de micro y minicomputadora (versión [1.1]).

5.1.3 - Lenguaje

FORTRAN V norma 77 o simplemente FORTRAN 77, es el nombre del lenguaje utilizado para la interpretación computacional de los algoritmos presentados.

5.2 - Organización del Programa

El paquete de Software presentado para la solución del problema planteado consta de dos programas. El primer programa cal -

cula las propiedades geométricas (área, inercia, factor de forma), para diferentes tipos de secciones transversales.

El segundo programa es el programa que resuelve la estructura propiamente dicha. Consta de un programa principal donde se definen las áreas de memoria por emplear, a través de la llamada memoria dinámica, y de los llamados a subrutinas; mismas que conforman la parte complementaria de este segundo programa.

5.2.1 - Diagrama de Bloques

La organización del algoritmo que define a los programas de computadora se indica en la fig (5.1). En ella se muestran las subrutinas que forman los dos programas. A continuación se describen brevemente.

El primer bloque realiza la captura de datos necesarios para iniciar el proceso de análisis. El segundo prepara las matrices de los elementos, formando además la matriz de la estructura propiamente dicha. Por último el tercer bloque captura las cargas sobre la estructura y resuelve el sistema de ecuaciones que sirven para la obtención de los elementos cinemáticos y mecánicos de la estructura.

5.2.2 - Descripción de Subrutinas

Subrutina CAP

Captura los datos necesarios para la posterior obtención de las propiedades geométricas de una sección transversal.

Subrutina CALC

Calcula las propiedades geométricas de las ecuaciones transversales definidas anteriormente.

Subrutina ART

Captura el tipo de barra, de acuerdo a sus apoyos. Sean empotramiento o articulación.

Subrutina CORDE

Las coordenadas de los puntos nodales son capturados en esta subrutina.

Subrutina FRONT

Conforme a una convención numérica las condiciones de frontera son registradas para definir la estructura.

Subrutina RENUM

Con el fin de establecer los indicadores de ecuación, en esta subrutina son reenumerados los datos capturados en FRONT.

Subrutina TIPMAT

Las propiedades mecánicas del material o materiales que conforman las barras de la estructura, son almacenados para su posterior proceso.

Subrutina DATBA

Los datos particulares de las barras, como son, incidencia, tipo de sección transversal y material empleado son capturados por este sub-programa.

Subrutina PREMAT

Genera a almacena las matrices de rigidez local (RIGIL) y global (RIGIG). Representa la subrutina más importante de todo el

Programa.

Subrutina EMATRI

Ensambla las matrices de barras en la matriz de la estructura.

Imprime la matriz de la estructura (PRIME).

Subrutina TGCVE

Efectúa la primera parte de la solución de ecuaciones que se genera con la matriz de rigideces de la estructura. Esta es conocida como Triangulación.

Subrutina CARNU

Captura los datos referentes a las cargas aplicadas en los nudos.

Subrutina CARBAR

Captura (CC) el tipo e carga intermedia sobre las barras y calcula (CG y PC) las fuerzas de fijación para cada barra cargada.

Subrutina FZFILB

Cambia la referencia de las fuerzas de fijación de local a global.

Subrutina ENSFN

Ensambla en el vector de fuerzas de la estructura, las fuerzas aplicadas en los nudos.

Subrutina ENSFB

Ensambla las fuerzas de fijación, provocadas por las cargas intermedias, en el vector de cargas de la estructura.

Subrutina DESP

En caso de presentarse desplazamientos preescritos, éste sub-programa captura la magnitud de los desplazamientos y mul-

tiplicándolos por la rigidez de la barra los convierte en fuerzas, que son ensamblados al vector de fuerzas de la estructura.

Subrutina SGCVE

Efectúa la sustitución hacia atrás y hacia adelante para la solución de ecuaciones.

Subrutina ELEME

En base a los desplazamientos obtenidos por SGCVE, se obtienen los elemento mecánicos, expresados en referencia local (FZFID).

5.2.3 - Sub-subrutinas

Por cuestiones de encadenamiento algunas subrutinas requieren del auxilio de una subrutina para su llamado, por lo cual vienen a convertirse en sub-subrutinas.

5.3 - Instructivo de Operación

A continuación se dan los pasos a seguir y convenciones numéricas utilizadas. También se dan algunas recomendaciones importantes.

- Cargar el sistema. Colocar los discos # 1 y # 2 en los drives correspondientes. Posteriormente encender la maquina.
- Teclar X , de execute. Apareciendo en la pantalla el mensaje :

" execute what file ? "

A) cual se contestará #4:SECCION (en el caso de querer conocer

las propiedades geométricas de una o varias secciones transversales) o #4:ESQUELET (para efectuar el análisis completo de una estructura esquelética).

- Alimentar al programa con los datos siguientes :

NUMERO DE :

- barras
- puntos nodales
- materiales distintos
- secciones transversales
- tipos de barras (por apoyos)
- indicador de ejecución
- barras cargadas
- nudos cargados
- desplazamientos prescritos

- El número de tipos de barras por sus apoyos, será diferente de cero cuando exista alguna articulación en la estructura. La convención empleada para ello es la siguiente :

0	1	2	3
E	E A	E E	A A A

donde : E significa empotramiento
A significa articulación

- Indicador de Ejecución = 0 Resultados en pantalla.
= 6 Resultados en la Impresora
- Condiciones Frontera
 - Desplazamiento igual a cero ----> 1
 - Desplazamiento desconocido ----> 0
 - Desplazamiento preescrito ---->-1
- Opciones de seccion transversal
 - a) Sección rectangular o cuadrada.
 - b) Sección 1 , T , Z , cajón (fig. 5.2)
 - c) Círculo lleno
 - d) Círculo hueco
- Opciones de tipo de carga
 - a) Carga uniforme continúa
 - b) Carga lineal continúa
 - c) Carga uniforme discontinua
 - d) Carga lineal discontinua
 - e) Fuerza concentrada
 - f) Par concentrado
- Después de obtener los elementos mecánicos se da la opción de efectuar otra condición de carga , prequanta a la que se debe contestar tecleando 5 .
- Cuando algún valor numérico sea cero, bastará con digitar RETURN.
- Los valores reales siempre deben llevar punto.
- Máximo número de cargas sobre una barra --> 19

CAPITULO SEIS

EJEMPLO DE APLICACION

6-. Ejemplo de Aplicación

6.1-. Estructura analizada

En la figura (6.1) se muestra las estructuras analizadas como ejemplos de aplicación del programa desarrollado.

6.1.1-. Geometría

Se analizan dos estructuras diferentes. La primera de ellas se somete a dos condiciones : la primera de ellas es únicamente bajo cargas actuantes; la segunda se analiza con las mismas cargas y con un desplazamiento prescrito de 2.5cm.

La segunda estructura se trata de una armadura de tres barras, fig.(6.1.c).

6.1.2-. Datos iniciales

número de nudos	5	
número de barras	4	
número de secciones tipo	2	
número de materiales	1	
número de tipos de barras (apoyos)	0	
indicador de ejecución	6	(Impresora)

Estos datos corresponden a la estructura mostrada en la figura (6.1.a), para ambas condiciones.

número de nudos	3	
número de barras	3	
número de secciones tipo	1	
número de materiales	1	
número de tipos de barras (apoyos)	1	
indicador de ejecución	6	(impresora)

Datos pertenecientes a la fig. (6.1.c).

6.1.3-. Datos generales

Primer estructura, primer condición

módulo de elasticidad	150000 kq/cm ²
relación de poisson	0.2
número de barras cargadas	1
número de nudos cargados	3
número de desplazamientos preescritos	0

Primer estructura, segunda condición condición

número de barras cargadas	1
número de nudos cargados	3
número de desplazamientos preescritos	1

Segunda estructura

número de barras cargadas	0
número de nudos cargados	1
número de desplazamientos prescritos	0

6.1.4-. Cargas Actuales.

Primera estructura, primer condición

1a. barra cargada	numero	3
tipo de carga		1

$w_1 = 30 \text{ kq/cm}$

1er. nudo cargado	numero	2
-------------------	--------	---

fuerza en x 10000 kq

fuerza en y 0 kq

fuerza en z 0 kq-cm

2do. nudo cargado	numero	3
-------------------	--------	---

fuerza en x 0 kq

fuerza en y -5000 kq

fuerza en z 0 kq-cm

3er. nudo cargado	numero	4
-------------------	--------	---

fuerza en x 0 kq

fuerza en y -5000 kq

fuerza en z 0 kq-cm

ESTA TESIS NO DEBE
SALIR DE LA BIBLIOTECA

Para la segunda condición las cargas son iguales con un desplazamiento prescrito de 2.5cm.

Segunda estructura

1er. nudo cargado	numero	2
fuerza en x	0	kg
fuerza en y	-1000	kg
fuerza en z	0	kg-cm

6.2-. Resultados Obtenidos

Los resultados obtenidos con el programa de computadora corresponden a los elementos cinemáticos y mecánicos de cada una de las condiciones de carga considerada para las estructuras en estudio.

6.2.1-. Propiedades geométricas.

Las propiedades geométricas obtenidas son :

- área
- momento de inercia
- factor de forma

En la tabla (6.1.a) se muestran las de la primer estructura.

6.2.2-. Matrices de rigideces

En la tabla (6.2.a) se muestran las matrices de cada barra en referencia local y global, así como la de la estructura y en la tabla (6.2.c) las de la armadura.

6.2.3- Desplazamientos.

En la tabla (6.3.a) se muestran los elementos cinemáticos de la primera estructura bajo la primer condición, en la (6.3.b) los de la segunda condición y en la (6.3.c) los de la segunda estructura.

6.2.4- Elementos Mecánicos

Los elementos mecánicos corresponden a las fuerzas generalizadas de los puntos nodales de cada una de las barras, en la referencia local de las mismas. En la tabla (6.4) se muestran los elementos mecánicos correspondientes a las dos condiciones de la primer estructura, así como de la única condición en la segunda.

CONCLUSIONES Y RECOMENDACIONES

CONCLUSIONES Y RECOMENDACIONES

Las conclusiones que se presentan a continuación se basan en aspectos importantes del modelo estructural en estudio, así como del programa desarrollado y de su utilización. Por último, se presentan algunas recomendaciones sobre posibles variantes y extensiones del programa de computadora.

CONCLUSIONES

- 1.- Con respecto al modelo matemático empleado se concluye lo siguiente:
 - a) Permite el análisis lineal de estructuras esqueléticas planas. Con él, es posible combinar diferentes tipos de apoyos, condiciones de carga, materiales, secciones transversales, longitudes y direcciones de los elementos de una estructura determinada.
 - b) La metodología empleada para la solución del problema resultó ser adecuada para la manipulación del modelo estructural, por medio de computadora de forma eficiente. Esta misma se utiliza en la solución de diversos sistemas estructurales, así como en problemas de otra índole. Comúnmente se le conoce como la metodología del Elemento Finito.
 - c) Toma en cuenta las deformaciones debidas a la flexión y carga axial, así como las producidas por cortante.

2-. Con respecto al programa de computadora se concluye lo siguiente :

- a) Si es posible desarrollar un programa de computadora para análisis de estructuras esqueléticas planas para una microcomputadora con configuración mínima de 64 Kb. de memoria RAM.
- b) Se presenta un programa de computadora que permite el análisis de estructuras como las definidas en el inciso (1.a) de las conclusiones; siendo el número máximo de grados de libertad total de 4500.
- c) Calcula el factor de forma (área y momento de inercia) de 3 tipos diferentes de sección transversal, uno de los cuales se emplea como un caso general, a partir del cual se pueden analizar 7 tipos más de sección transversal, sumando 9 en total. A partir de este factor se obtiene el de cortante, que se utiliza para tomar en cuenta, en el análisis, las deformaciones producidas por cortante.
- d) El tipo de programación utilizada es el que se conoce como estructurada; de esta manera resulta fácil la localización de errores y posibles adiciones al mismo, así como una rápida comprensión para el lector. Para el manejo de datos se utilizó la memoria dinámica, con la cual se logra un mejor aprovechamiento de memoria RAM a través de un solo dimensionamiento fijo.
- e) El proceso de triangulación para la solución de las ecuaciones algebraicas de equilibrio de la estructura, es independiente del vector de cargas de la misma, por lo cual pueden -

analizarse diferentes condiciones de carga para una misma estructura, sin necesidad de ingresar de nuevo los datos geométricos de la misma. Esta ventaja la presentan todos los métodos compactos, los cuales en la triangulación ocupan las mismas localidades donde se alojan los coeficientes de la matriz de rigideces, logrando así un ahorro importante de memoria activa.

- f) En la solución de la barra cinemáticamente determinada sometida a las cargas actuantes, se emplean únicamente dos rutinas, una de las cuales sirve para resolver 5 distintos tipos de carga externa, con lo que de esta forma la rutina para obtener las fuerzas de fijación se redujo en tamaño y amplio en cuanto a posibilidades de combinación con respecto a otros programas.
- g) Para la solución de ecuaciones se utiliza el método compacto de Gauss para matrices cuadradas, que resulta más eficiente que el método de eliminación de Gauss y Gauss-Seidel, tanto en memoria como en tiempo de proceso.
- h) El tipo de arreglo, para el almacenamiento de la matriz de rigideces de la estructura, más adecuado, depende de la misma estructura y de la numeración que se haga de los nodos que la componen. En cuanto al método de solución, los más adecuados son los de Gauss-Crout versión eficiente y Cholesky.
- i) Mediante la aplicación de los programas presentados se obtienen las propiedades geométricas de las secciones transversales definidas, los elementos mecánicos y cinemáticos de una -

estructura esquelética, de nudos rígidos, sometida a cargas -- externas, así como con articulaciones y desplazamientos pre-- escritos en sus puntos nodales. También en forma opcional se -- proporcionan las matrices de rigideces de las barras (refe-- rencia local y global) y de la estructura, así como los indi-- cadores de ecuación de cada barra, todo esto último con fines didácticos.

- j) Finalmente, puede decirse que, el desarrollo del programa pre-- sentó dificultades para su almacenamiento en la memoria prin-- cipal de la máquina, por lo que, en primer término hubo que -- compilar rutinas por separado para ser encadenadas posterior-- mente. Después al no ser suficiente lo anterior, se dividió el programa en dos partes y por último se redujo el tamaño de al-- gunas rutinas, omitiendo otras. Como resultado final se obtu-- vieron dos programas y 24 rutinas básicas.

RECOMENDACIONES

- a) La elaboración del programa con versiones adelantadas del mismo sistema operativo, las cuales permiten el aprovechamiento de otros 64 Kb., sumando 128 en total, de memoria principal.
- b) Adaptar el programa al uso de arreglos cuadrados y en banda, según, uno ó el otro sea el mas adecuado.
- c) Elaborar rutinas de manejo de pantalla, ya sean en el mismo lenguaje o en otro.
- d) Desarrollar rutinas para el manejo de archivos de datos, considerandose como los mas adecuados los indexados.
- e) Incluir las rutinas necesarias para la impresión grafica de los elementos mecánicos de las barras de las estructuras analizadas, así como de la geometria propia de la misma.
- f) Tomando como base este programa, y haciendo caso de las recomendaciones anteriores, realizar un programa de análisis tridimensional de estructuras para máquinas con mediana capacidad de memoria (PC's).

TABLAS Y FIGURAS

SECCION	INERCIA	FACTOR DE CORTE	AREA
1	540000.000	1.20	1800.000
2	466667.000	1.17	2600.000

TABLA 6.1.a

0 0 0 1 2 3				POISSON YOUNG		
X1	Y1	LONG		62500.00	150000.00	
FACTOR DE -->				300.00	300.00	
RIGIDEZ LOCAL				.115200		
900000.00	.00	.00	.00	-900000.00	.00	.00
.00	32281.20	4842180.00	.00	.00	-32281.20	4842180.00
.00	4842180.00	996327000.00	.00	.00	-4842180.00	456327000.00
-900000.00	.00	.00	.00	900000.00	.00	.00
.00	-32281.20	-4842180.00	.00	.00	32281.20	-4842180.00
.00	4842180.00	456327000.00	.00	.00	-4842180.00	996327000.00
MATRIZ DE RIGIDEZ GLOBAL DE LA BARRA 1						
32281.20	.00	-4842180.00	-32281.20	.00	-4842180.00	
.00	900000.00	.00	.00	-900000.00	.00	.00
-4842180.00	.00	996327000.00	4842180.00	.00	456327000.00	
-32281.20	.00	4842180.00	32281.20	.00	4842180.00	
.00	-900000.00	.00	.00	900000.00	.00	.00
-4842180.00	.00	456327000.00	4842180.00	.00	996327000.00	
INDICADOR DE ECUACION DE LA BARRA 1						

0 0 0 1 2 3				POISSON YOUNG		
X1	Y1	LONG		62500.00	150000.00	
FACTOR DE -->				300.00	424.76	
RIGIDEZ LOCAL				.043520		
707107.00	.00	.00	.00	-707107.00	.00	.00
.00	10540.70	2236020.00	.00	.00	-10540.70	2236020.00
.00	2236020.00	639323000.00	.00	.00	-2236020.00	309340000.00
-707107.00	.00	.00	.00	707107.00	.00	.00
.00	-10540.70	-2236020.00	.00	.00	10540.70	-2236020.00
.00	2236020.00	309340000.00	.00	.00	-2236020.00	639323000.00
MATRIZ DE RIGIDEZ GLOBAL DE LA BARRA 2						
358824.00	348283.00	-1581110.00	-358824.00	-348283.00	-1581110.00	
348283.00	358824.00	1581110.00	-348283.00	-358824.00	1581110.00	
-1581110.00	1581110.00	639323000.00	1581110.00	-1581110.00	309340000.00	
-358824.00	-348283.00	1581110.00	358824.00	348283.00	1581110.00	
-348283.00	-358824.00	-1581110.00	348283.00	358824.00	-1581110.00	
-1581110.00	1581110.00	309340000.00	1581110.00	-1581110.00	639323000.00	
INDICADOR DE ECUACION DE LA BARRA 2						

1 2 3 4 5 6				POISSON YOUNG		
X1	Y1	LONG		62500.00	150000.00	
FACTOR DE -->				500.00	500.00	
RIGIDEZ LOCAL				.031334		
600000.00	.00	.00	.00	-600000.00	.00	.00
.00	6515.11	1628780.00	.00	.00	-6515.11	1628780.00
.00	1628780.00	547194000.00	.00	.00	-1628780.00	267194000.00
-600000.00	.00	.00	.00	600000.00	.00	.00
.00	-6515.11	-1628780.00	.00	.00	6515.11	-1628780.00
.00	1628780.00	267194000.00	.00	.00	-1628780.00	547194000.00
MATRIZ DE RIGIDEZ GLOBAL DE LA BARRA 3						
600000.00	.00	.00	-600000.00	.00	.00	
.00	6515.11	1628780.00	.00	-6515.11	1628780.00	
.00	1628780.00	547194000.00	.00	-1628780.00	267194000.00	
-600000.00	.00	.00	600000.00	.00	.00	
.00	-6515.11	-1628780.00	.00	6515.11	-1628780.00	
.00	1628780.00	267194000.00	.00	-1628780.00	547194000.00	
INDICADOR DE ECUACION DE LA BARRA 3						

4 5 6 7 8 9

TABLA

6.2.0

IJI	IJI	LONG		POISSON	YOUNG
	300.00	-300.00	474.76	62500.00	150000.00
FACTOR DE --)		.057600			
RIGIDEZ LOCAL					
636396.00	.00	.00		-636396.00	.00
.00	12034.70	2552950.00		.00	-12034.70
.00	2552950.00	732481000.00		.00	-2552950.00
-636396.00	.00	.00		636396.00	.00
.00	-12034.70	-2552950.00		.00	12034.70
.00	2552950.00	350644000.00		.00	-2552950.00
MATRIZ DE RIGIDEZ GLOBAL DE LA BARRA	4				
324215.00	-312181.00	1805210.00		-324215.00	312181.00
-312181.00	324215.00	1805210.00		312181.00	-324215.00
1805210.00	1805210.00	732481000.00		-1805210.00	-1805210.00
-324215.00	312181.00	-1805210.00		324215.00	-312181.00
312181.00	-324215.00	-1805210.00		-312181.00	324215.00
1805210.00	1805210.00	350644000.00		-1805210.00	-1805210.00
INDICADOR DE ECUACION DE LA BARRA	4				

7 8 9 0 0

MATRIZ DE LA ESTRUCTURA

	1	2	3	4	5	6	7	8	9
1	3.9110E+05	3.4828E+05	3.2613E+06	-3.5882E+05	-3.4828E+05	-1.5809E+06	0.0000E+00	0.0000E+00	0.0000E+00
2	3.4828E+05	1.2588E+06	1.5809E+06	-3.4828E+05	-3.5882E+05	1.5809E+06	0.0000E+00	0.0000E+00	0.0000E+00
3	3.2613E+06	1.5809E+06	1.6356E+09	1.5809E+06	-1.5809E+06	3.0977E+08	0.0000E+00	0.0000E+00	0.0000E+00
4	-3.5882E+05	-3.4828E+05	1.5809E+06	9.5882E+05	3.4828E+05	1.5809E+06	-6.0000E+05	0.0000E+00	0.0000E+00
5	-3.4828E+05	-3.5882E+05	-1.5809E+06	3.4828E+05	3.6534E+05	4.7912E+04	0.0000E+00	-6.3151E+03	1.6288E+06
6	-1.5809E+06	1.5809E+06	3.0977E+08	1.5809E+06	4.7912E+04	1.1864E+09	0.0000E+00	-1.6288E+06	2.6719E+08
7	0.0000E+00	0.0000E+00	0.0000E+00	-6.0000E+05	0.0000E+00	0.0000E+00	9.2422E-05	-3.1218E+05	1.8052E+06
8	0.0000E+00	0.0000E+00	0.0000E+00	0.0000E+00	-6.3151E+03	-1.6288E+06	-3.1218E+05	3.3073E+05	1.7643E+05
9	0.0000E+00	0.0000E+00	0.0000E+00	0.0000E+00	1.6288E+06	2.6719E+08	1.8052E+06	1.7643E+05	1.2797E+09

6.2.a

KJI	YJI	LONG		POISSON	YOUNG	
	50.00	100.00	111.80	784615.00	2040000.00	
FACTOR DE -->		.002496				
RIGIDEZ LOCAL						
	182463.00	.00	.00	-182463.00	.00	.00
	.00	.00	.00	.00	.00	.00
	.00	.00	.00	.00	.00	.00
	-182463.00	.00	.00	182463.00	.00	.00
	.00	.00	.00	.00	.00	.00
	.00	.00	.00	.00	.00	.00
MATRIZ DE RIGIDEZ GLOBAL DE LA BARRA 1						
	36492.60	72985.30	.00	-36492.60	-72985.30	.00
	72985.30	145971.00	.00	-72985.30	-145971.00	.00
	.00	.00	.00	.00	.00	.00
	-36492.60	-72985.30	.00	36492.60	72985.30	.00
	-72985.30	-145971.00	.00	72985.30	145971.00	.00
	.00	.00	.00	.00	.00	.00
INDICADOR DE ECUACION DE LA BARRA 1						

KJI	YJI	LONG		POISSON	YOUNG	
	50.00	-100.00	111.80	784615.00	2040000.00	
FACTOR DE -->		.002496				
RIGIDEZ LOCAL						
	182463.00	.00	.00	-182463.00	.00	.00
	.00	.00	.00	.00	.00	.00
	.00	.00	.00	.00	.00	.00
	-182463.00	.00	.00	182463.00	.00	.00
	.00	.00	.00	.00	.00	.00
	.00	.00	.00	.00	.00	.00
MATRIZ DE RIGIDEZ GLOBAL DE LA BARRA 2						
	36492.60	-72985.30	.00	-36492.60	72985.30	.00
	-72985.30	145971.00	.00	72985.30	-145971.00	.00
	.00	.00	.00	.00	.00	.00
	-36492.60	72985.30	.00	36492.60	-72985.30	.00
	72985.30	-145971.00	.00	-72985.30	145971.00	.00
	.00	.00	.00	.00	.00	.00
INDICADOR DE ECUACION DE LA BARRA 2						

KJI	YJI	LONG		POISSON	YOUNG	
	100.00	.00	100.00	784615.00	2040000.00	
FACTOR DE -->		.003120				
RIGIDEZ LOCAL						
	204000.00	.00	.00	-204000.00	.00	.00
	.00	.00	.00	.00	.00	.00
	.00	.00	.00	.00	.00	.00
	-204000.00	.00	.00	204000.00	.00	.00
	.00	.00	.00	.00	.00	.00
	.00	.00	.00	.00	.00	.00
MATRIZ DE RIGIDEZ GLOBAL DE LA BARRA 3						
	204000.00	.00	.00	-204000.00	.00	.00
	.00	.00	.00	.00	.00	.00
	.00	.00	.00	.00	.00	.00
	-204000.00	.00	.00	204000.00	.00	.00
	.00	.00	.00	.00	.00	.00
	.00	.00	.00	.00	.00	.00
INDICADOR DE ECUACION DE LA BARRA 3						

0 0 0 3 0 0
MATRIZ DE LA ESTRUCTURA

	1	2	3
1	7.2985E+04	0.0000E+00	-3.6493E+04
2	0.0000E+00	2.9194E+05	7.2985E+04
3	-3.6493E+04	7.2985E+04	2.4047E+05

DESPLAZAMIENTOS

-.17411
 -.01401
 .00098
 -.10558
 -.11849
 -.00122
 -.12694
 -.16455
 .00110

6.3. a

DESPLAZAMIENTOS

.00000
 -.01291
 .00117
 -.02704
 -.14987
 .00170
 -.44561
 -.48573
 .00796

6.3. b

DESPLAZAMIENTOS

.00413
 -.03732
 .01725

6.3. c

TABLA

6.3

BARRA NUMERO : 1
 FUERTIA 1) = 1360,700
 FUERTIA 2) = -2814,110
 FUERTIA 3) = -57270,000
 FUERTIA 4) = -12400,000
 FUERTIA 5) = 7914,110
 FUERTIA 6) = -20055,000
 BARRA NUMERO : 2
 FUERTIA 1) = 17076,500
 FUERTIA 2) = -145,970
 FUERTIA 3) = 244054,000
 FUERTIA 4) = -17078,900
 FUERTIA 5) = 145,970
 FUERTIA 6) = -77700,000
 BARRA NUMERO : 3
 FUERTIA 1) = 12816,100
 FUERTIA 2) = 7600,670
 FUERTIA 3) = 527000,000
 FUERTIA 4) = -12816,100
 FUERTIA 5) = 7700,770
 FUERTIA 6) = -277157,000
 BARRA NUMERO : 4
 FUERTIA 1) = 17823,700
 FUERTIA 2) = 301,074
 FUERTIA 3) = 273157,000
 FUERTIA 4) = -17827,700
 FUERTIA 5) = -301,074
 FUERTIA 6) = -145422,000

6.4.a

BARRA NUMERO : 1
 FUERTIA 1) = 11529,700
 FUERTIA 2) = -1742,270
 FUERTIA 3) = -776667,600
 FUERTIA 4) = -11529,700
 FUERTIA 5) = 1742,270
 FUERTIA 6) = 5762,000
 BARRA NUMERO : 2
 FUERTIA 1) = 126640,700
 FUERTIA 2) = 10070,500
 FUERTIA 3) = 369077,000
 FUERTIA 4) = -126640,700
 FUERTIA 5) = -10070,500
 FUERTIA 6) = 374000,000
 BARRA NUMERO : 3
 FUERTIA 1) = 11742,700
 FUERTIA 2) = 6528,270
 FUERTIA 3) = 10153,700
 FUERTIA 4) = -11742,700
 FUERTIA 5) = 2471,770
 FUERTIA 6) = -696047,000
 BARRA NUMERO : 4
 FUERTIA 1) = 17829,000
 FUERTIA 2) = -1222,990
 FUERTIA 3) = 496047,000
 FUERTIA 4) = -17829,000
 FUERTIA 5) = 1222,990
 FUERTIA 6) = -1014920,000

6.4.b

BARRA NUMERO : 1
 FUERTIA 1) = ,000
 FUERTIA 2) = ,000
 FUERTIA 3) = ,000
 FUERTIA 4) = -5590,000
 FUERTIA 5) = ,000
 FUERTIA 6) = ,000
 BARRA NUMERO : 2
 FUERTIA 1) = ,000
 FUERTIA 2) = ,000
 FUERTIA 3) = ,000
 FUERTIA 4) = -5590,000
 FUERTIA 5) = ,000
 FUERTIA 6) = ,000
 BARRA NUMERO : 3
 FUERTIA 1) = ,000
 FUERTIA 2) = ,000
 FUERTIA 3) = ,000
 FUERTIA 4) = 2500,000
 FUERTIA 5) = ,000
 FUERTIA 6) = ,000

6.4.c

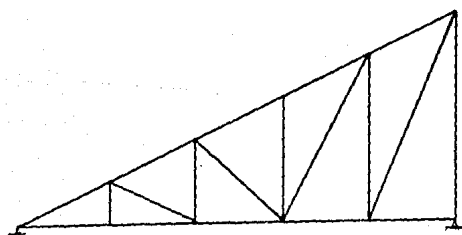
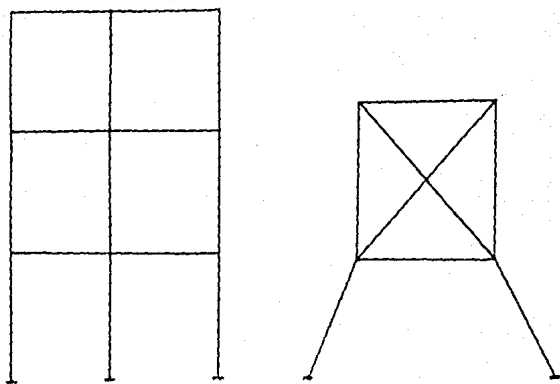
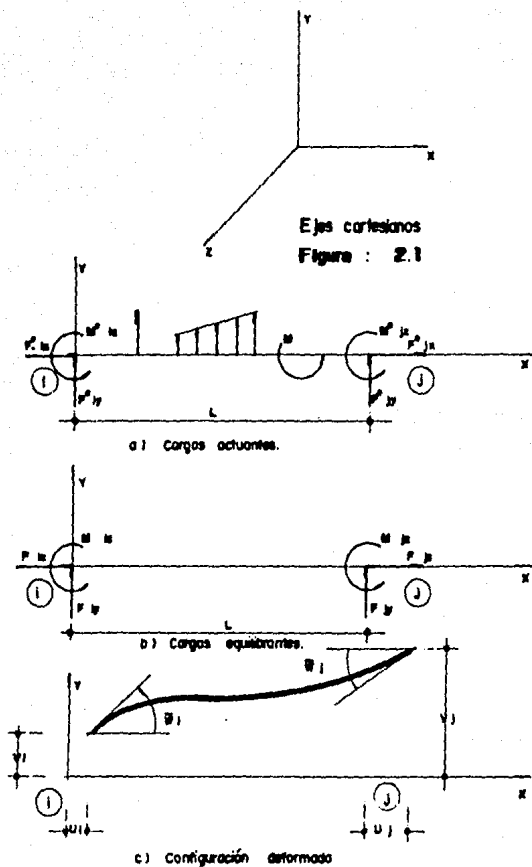
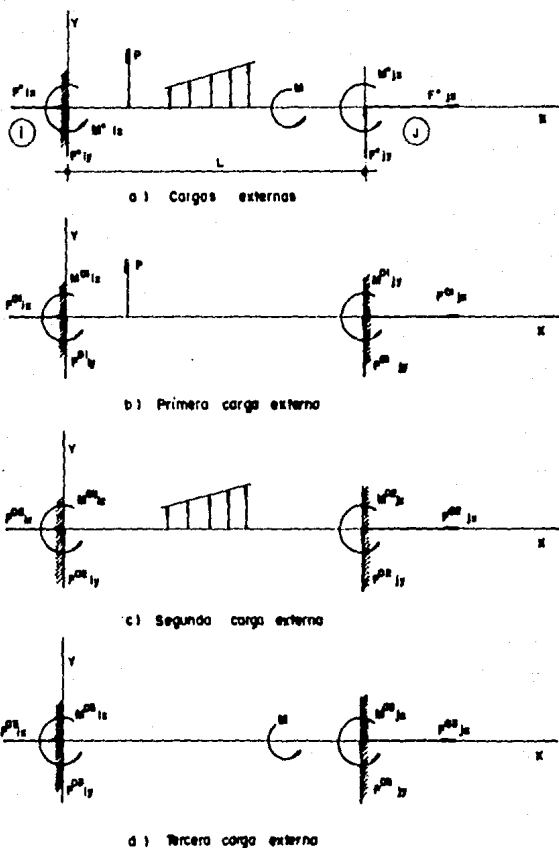


FIGURA 1.1



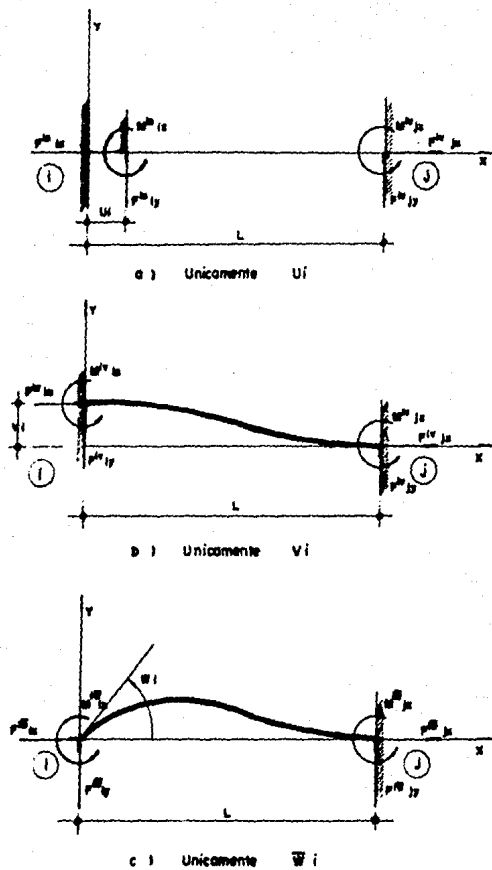
Elementos mecánicos y cinemáticos de una barra plana.

Figura : 2.2



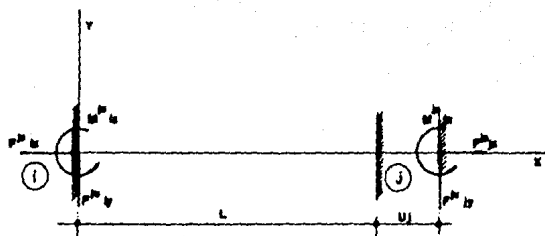
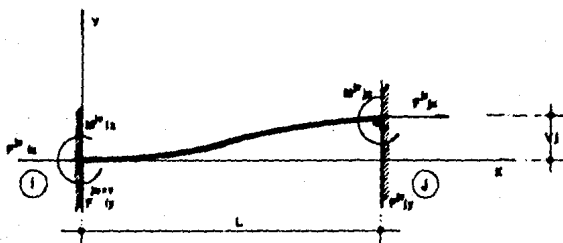
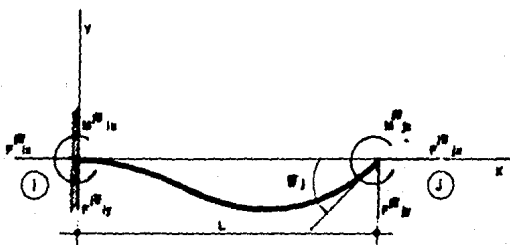
Estructura cinemáticamente determinada sometida a las cargas externas.

Figura : 2.3



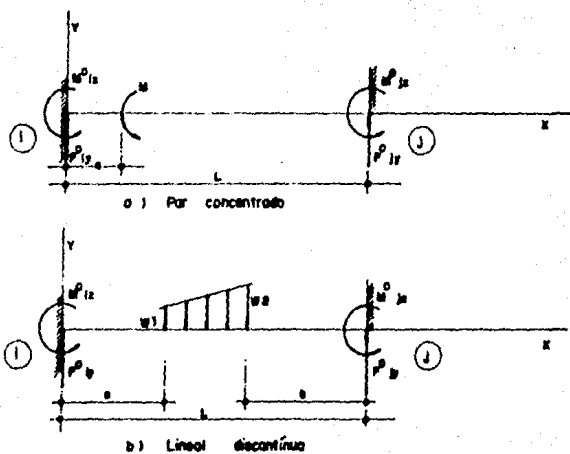
Elementos mecánicos asociados a los componentes del desplazamiento generalizado del punto nodo: ①

Figura : 2.4

d) Unicamente U_j e) Unicamente V_j f) Unicamente W_j

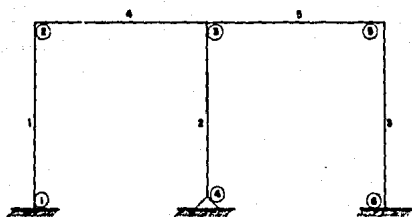
Elementos mecánicos asociados a las componentes del desplazamiento generalizado del punto nodal: (j)

Figura : 2.4 (continuación).



Cargas intermedias en barras (Plano xy).

Figure : 2.5

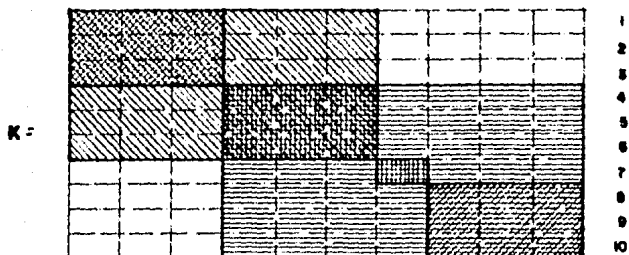


Estructura de ejemplo .

Figura : 3.1

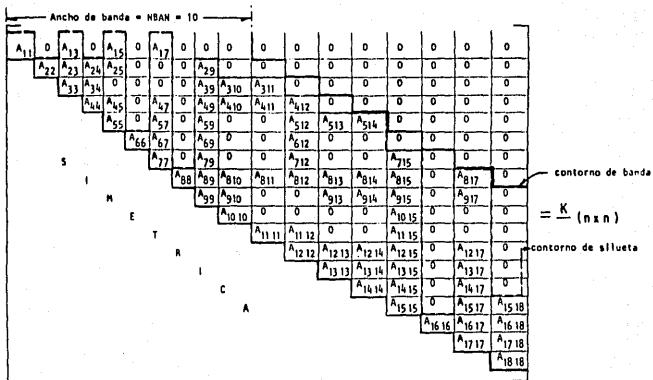
$$K_3 = \begin{array}{cccccc|c} K_{11} & K_{12} & K_{13} & K_{14} & K_{15} & K_{16} & 0 \\ K_{21} & K_{22} & K_{23} & K_{24} & K_{25} & K_{26} & 0 \\ K_{31} & K_{32} & K_{33} & K_{34} & K_{35} & K_{36} & 0 \\ K_{41} & K_{42} & K_{43} & K_{44} & K_{45} & K_{46} & 8 \\ K_{51} & K_{52} & K_{53} & K_{54} & K_{55} & K_{56} & 9 \\ K_{61} & K_{62} & K_{63} & K_{64} & K_{65} & K_{66} & 10 \\ \hline 0 & 0 & 0 & 8 & 9 & 10 & \end{array}$$

1 2 3 4 5 6 7 8 9 10



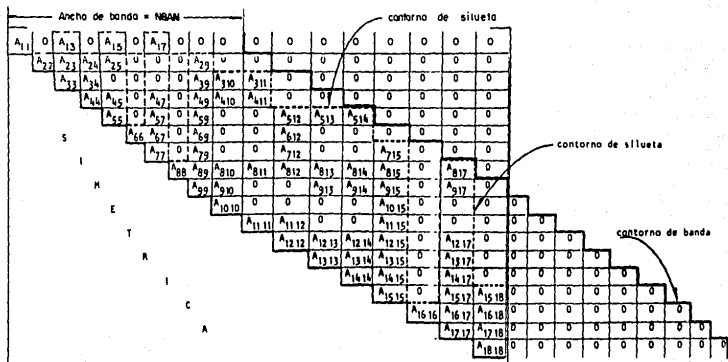
Ensamble de la matriz de la estructura.

Figura : 3.2



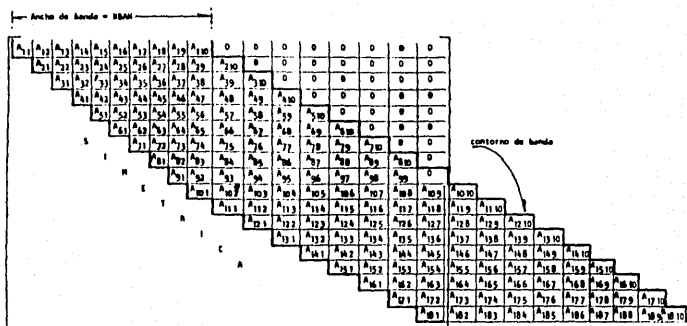
Representación esquemática de la matriz de rigideces de una estructura.

Figura : 4



Representación esquemática de la matriz A , con diferentes tipos de almacenamientos.

Figure : 4.1



Organización de los coeficientes de la matriz A , en arreglos en banda (rectangular).

Figura : 4.2

NBAN

A ₁₁	0	A ₁₃	0	A ₁₅	0	A ₁₇	0	0	0
A ₂₂	A ₂₃	A ₂₄	A ₂₅	0	A ₂₇	0	A ₂₉	0	0
A ₃₃	A ₃₄	A ₃₅	0	A ₃₇	0	A ₃₉	A ₃₁₀	A ₃₁₁	0
A ₄₄	A ₄₅	0	A ₄₇	0	A ₄₉	A ₄₁₀	A ₄₁₁	A ₄₁₂	0
A ₅₅	0	A ₅₇	0	A ₅₉	A ₅₁₀	A ₅₁₁	A ₅₁₂	A ₅₁₃	A ₅₁₄
A ₆₆	A ₆₇	0	A ₆₉	A ₆₁₀	A ₆₁₁	A ₆₁₂	A ₆₁₃	A ₆₁₄	0
A ₇₇	0	A ₇₉	A ₇₁₀	A ₇₁₁	A ₇₁₂	A ₇₁₃	A ₇₁₄	A ₇₁₅	0
A ₈₈	A ₈₉	A ₈₁₀	A ₈₁₁	A ₈₁₂	A ₈₁₃	A ₈₁₄	A ₈₁₅	0	A ₈₁₇
A ₉₉	A ₉₁₀	A ₉₁₁	A ₉₁₂	A ₉₁₃	A ₉₁₄	A ₉₁₅	0	A ₉₁₇	0
A ₁₀₁₀	A ₁₀₁₁	A ₁₀₁₂	A ₁₀₁₃	A ₁₀₁₄	A ₁₀₁₅	0	A ₁₀₁₇	0	0
A ₁₁₁₁	A ₁₁₁₂	A ₁₁₁₃	A ₁₁₁₄	A ₁₁₁₅	0	A ₁₁₁₇	0	0	0
A ₁₂₁₂	A ₁₂₁₃	A ₁₂₁₄	A ₁₂₁₅	0	A ₁₂₁₇	0	0	0	0
A ₁₃₁₃	A ₁₃₁₄	A ₁₃₁₅	0	A ₁₃₁₇	0	0	0	0	0
A ₁₄₁₄	A ₁₄₁₅	0	A ₁₄₁₇	0	0	0	0	0	0
A ₁₅₁₅	0	A ₁₅₁₇	A ₁₅₁₈	0	0	0	0	0	0
A ₁₆₁₆	A ₁₆₁₇	A ₁₆₁₈	0	0	0	0	0	0	0
A ₁₇₁₇	A ₁₇₁₈	0	0	0	0	0	0	0	0
A ₁₈₁₈	0	0	0	0	0	0	0	0	0

A(NXNBAN) =

Matriz de rigideces de la figura (4.1) en arreglo en banda.

Figura : 4.3

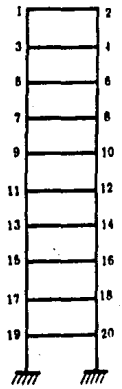
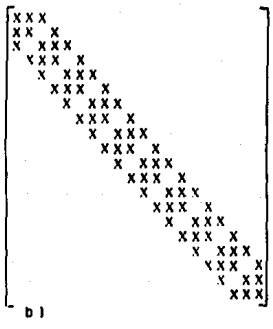
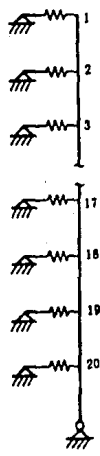
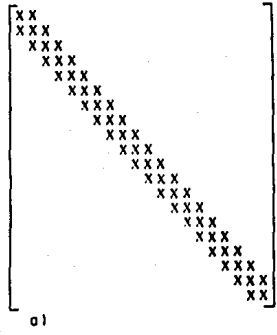


Figure : 4.5

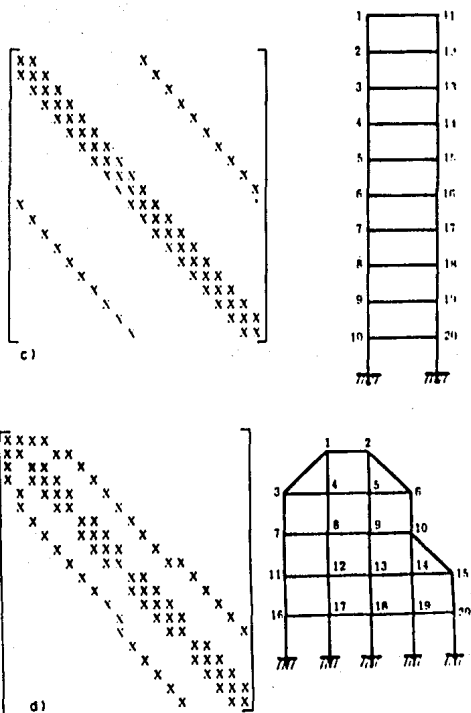


Figura : 4.5 (continuación).

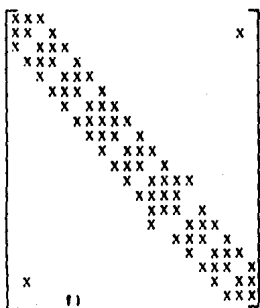
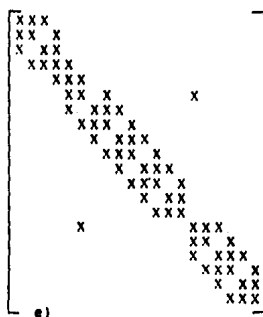


Figura: 4.5 (continuación).

CAPTURA
DE DATOS
INICIALES

ART
CORDE
FRONT
RENUM
TIPMAT
CAP *
DATBA

PREPARACION
DE MATRICES

CALC *
PREMAT-RIGL-RIGK
EMATRI-PRIME
TGCVE

CARGAS
DESPLAZA-
MENTOS Y
SOLUCION

CARBU
CARBAR-CC - CO - PC
FZFILG
ENSN
ENSB
DESP
SGCVE
ELEM - FZFD

* PROGRAMAS SECCION

Diagrama de bloques.

Figure : 5.1

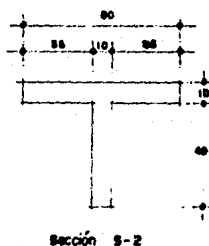
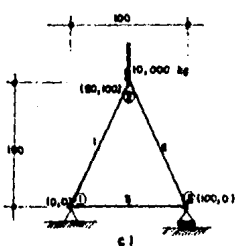
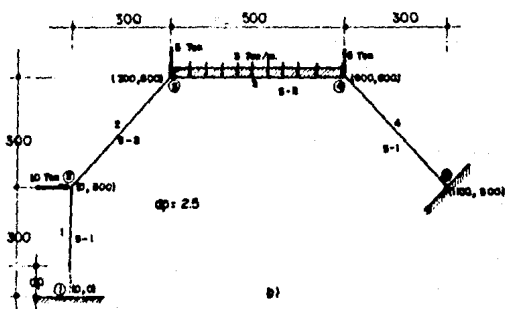
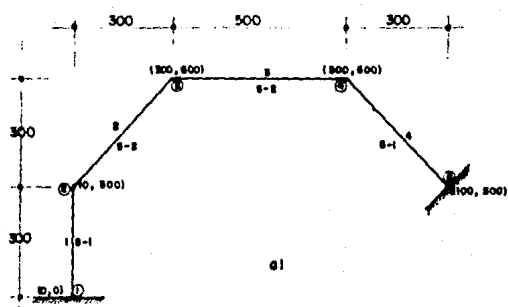


Figura : 6 . 1

REFERENCIAS

REFERENCIAS

- 1 -. ZIENKIEWICZ D. . The Finite Element Method. New York.
Mc. Graw-Hill, 1977.
- 2 -. CERVATES BELTRAN, Ramon y PORRAS SILVA, Victor. Apuntes
de Teoria General dde las Estructuras. Mexuco. UNAM, 1980.
- 3 -. DAYARATNAM, P. , Advanced Structural Analysis, New Delhi.
Tata Mc. Graw-Hill Publishing Company Limited, 1978.
- 4 -. POPOV, Egor. Introduccion a la Mecanica de Solidos. Trad.
Francisco Paniaqua, Mexico, LIMUSA, 1982.
- 5 -. VERA BADILLO, Fernando, Solucion de Ecuaciones Algebraicas
en el Analisis Estructural, Tesis Profesional, Mexico D.F.,
ULSA, 1980.
- 6 -. LIGNELET, Patrice, FORTRAN 77 Lenguaje FORTRAN V , Trad.
Armando Palomino, Espaa, Masson, 1985.
- 7 -. BOWLES, L. Kenneth, Introduccion al UCSD Pascal, Trad.
Juan Sanchez, Mexico. Byte Books/Mc. Graw-Hill, 1980.
- 8 -. APPLE COMPUTER INC. . Apple FORTRAN Languaje Reference
Manual, Cupertino California, Apple Publishing, 1982.
- 9 -. MEYERS, V. James , Matrix Analysis of Structures, New York.
Harper & Row, 1984.
- 10-. ROARKE, J. , Formulas for Stress & Strain. New York, Mc.
Graw Hill, 1980.

ANEXO 1 FACTOR DE FORMA

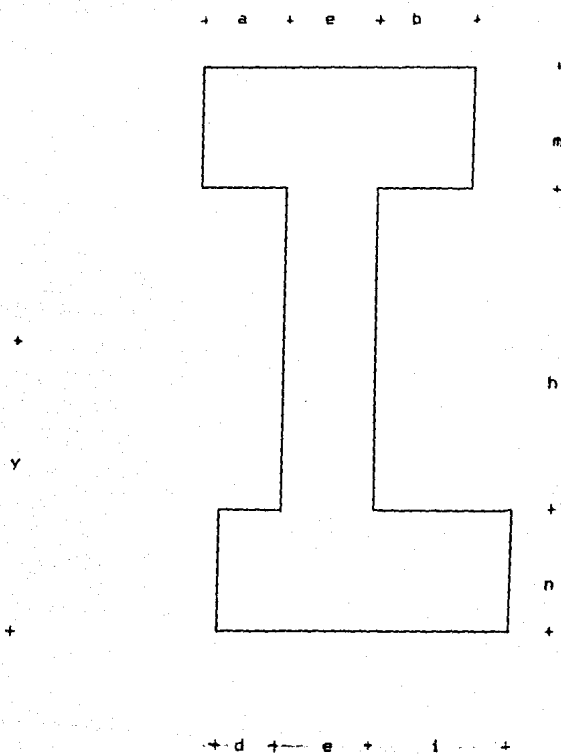
ANEXO I FACTOR DE FORMA

I.1) Factor de Forma para un caso múltiple de Sección Transversal.

A continuación se presentan las expresiones obtenidas para obtener el Factor de Forma de los siguientes tipos de sección :

- rectangular o cuadrada
- canal
- zeta
- cajón
- T
- I

La siguiente figura muestra la geometría y las variables utilizadas para su interpretación matemática :



$$r = m + h + n$$

$$P = a + e + b$$

$$Q = d + e + i$$

$$A = Qn + eh + Pm$$

$$0.5nQ + eh(n+0.5h) + Pm(n+h+0.5m)$$

$$y = \frac{\dots}{\dots}$$

A

$$I = (Qn + eh + Pm) + Qn(y-0.5) + eh(y-n-0.5h) + \dots$$

$$Pm(y-n-h-0.5m)$$

$$r' = r - y$$

$$S = r' - m$$

$$L = (P/2)(r')$$

$$M = (P/2)(2r'm - m) + (e/2)(r' - m)$$

$$Fy = \frac{Lm}{2A} + \frac{LPr'}{3} + \frac{LPS}{3} + \frac{Pr'}{20} + \frac{PS}{20} + \dots$$

$$MS = \frac{MeS}{3} + \frac{eS}{20}$$

e

donde :

A es el area de la misma

y es el centroide de la figura

I es el mometo de inercia

Fy es el Factor de forma

1.2) Factor de Forma para un círculo hueco (ref. (10))

$$F_y = 2.0$$

1.3) Factor de Forma para un círculo lleno (ref. (10))

$$F_y = \frac{10}{9}$$

ANEXO II LISTADO DEL PROGRAMA

```

PROGRAM SECCIO
DIMENSION A(1000)
OPER(4,FILE='PRINTER:')
OPER(1,FILE='CONSOLE:')
WRITE(1, '(A9)') DAME EL NUMERO DE SECCIONES TRANSVERSALES
* POR ANALIZAR :
READ(4, '(M, I2)') NST
WRITE(1, '(A6)') INDICADOR DE EJECUCION :
READ(4, '(I1)') IDE
IF (IDE.EQ.0) IDE=1
N1=1
N2=N1+NST
N3=N2+NST
N4=N3+NST
DO 100 I=1, NST
    I1=I-1
    CALL CAP(IDE, D, E, AI, AM, H, AN, AI, D, ITST)
    CALL CALC(IDE, D, E, AI, AM, H, AN, AI, D, ITST, A(N1+I1), A(N2+I1),
    A(N3+I1))
    WRITE(IDE, '(A)') SECCION      INERCIA      FACTOR DE
    ACORTE      AREA
100 CONTINUE
DO 200 J=1, NST
    JJ=J-1
    WRITE(IDE, '(I5, F15.3, F10.2, F15.3)') J, A(N1+JJ), A(N2+JJ),
    A(N3+JJ)
200 CONTINUE
END
SUBROUTINE CAP(IDE, D, E, AI, AM, H, AN, AI, D, ITST)
WRITE(4, 1) * 88 TIPOS DE SECCIONES TRANSVERSALES 88'
WRITE(4, 1) *
WRITE(4, 1) * 1=SECCION RECTANGULAR'
WRITE(4, 1) * 2=SECCION T U CANAL CAJON'
WRITE(4, 1) * 3=CIRCULO LLENO'
WRITE(4, 1) * 4=CIRCULO hueco'
WRITE(4, 1) * 5=NO CLASIFICADA'
400 WRITE(4, 12) * HAZ TU ELECCION --) *
READ(4, 5400) ITST
1 FORMAT(A)
5400 FORMAT(I1)
IF (ITST.LT.1.OR.ITST.GT.5) GOTO 400
GOTO(10, 20, 30, 40, 50) ITST
10 CONTINUE
WRITE(4, '(A, //)') * 888 SECCION RECTANGULAR 888'
AP=0.0
AM=0.0
AI=0.0
B=0.0
D=0.0
AI=0.0
12 FORMAT(A0)
WRITE(4, 12) * DAME EL VALOR DE LA BASE (ca) --) *
READ(4, 5401) E
WRITE(4, 12) * DAME LA ALTURA (ca) --) *
READ(4, 5401) H
5401 FORMAT(F15.4)
GOTO 300
20 CONTINUE
WRITE(4, '(A, //)') * 888 CASO GENERAL 888'
WRITE(4, 12) * DAME E (ca) --) *
READ(4, 5401) E
WRITE(4, 12) * DAME D (ca) --) *
READ(4, 5401) D
WRITE(4, 12) * DAME I (ca) --) *
READ(4, 5401) AI
WRITE(4, 12) * DAME EL PERALTE a (ca) --) *
READ(4, 5401) AM
WRITE(4, 12) * DAME EL PERALTE n (ca) --) *
READ(4, 5401) AN
WRITE(4, 12) * DAME EL PERALTE LIBRE DEL ALMA (ca) --) *
READ(4, 5401) H
WRITE(4, 12) * DAME B (ca) --) *

```

```

READ(1,540110)
WRITE(1,121) DAME A (ca)      --)
READ(1,540111)
GOTO 300
30 CONTINUE
WRITE(1,111) 'A,111)'      ### CIRCULO (LENO) ###
WRITE(1,11) DAME EL DIAMETRO EXTERIOR (ca)  --)
READ(1,540110)
GOTO 300
40 CONTINUE
WRITE(1,111) 'A,111)'      ### CIRCULO MUECO ###
WRITE(1,121) DAME EL DIAMETRO EXTERIOR (ca)  --)
READ(1,540110)
WRITE(1,121) DAME EL DIAMETRO INTERIOR (ca)  --)
READ(1,540111)
GOTO 300
50 CONTINUE
WRITE(1,111) 'A,111)'      ### SECCION CILINDRICA ###
WRITE(1,121) DAME EL AREA (ca 2)            --)
READ(1,540110)
WRITE(1,121) DAME EL MOMENTO DE INERCIA (ca 4)  --)
READ(1,540111)
WRITE(1,121) DAME EL FACTOR DE FORMA          --)
READ(1,540111)
300 CONTINUE
                                RETURN
                                END
SUBROUTINE CALC(10E, D, E, A1, AM, H, AM, A1, D, 1157, Z1, FT, AR)
FYCLL=10./D.
PI=3.14159265
FYTV=Z.0
GOTO 110, 10, 20, 30, 40, 1157
10 CONTINUE
R=AM*H*AM
P=A1+E*D
D=D+E*A1
AR=51AM+E*H*P*AM
IF (AR.LE.0.) RETURN
Y=10.51AM*E*2*D+E*H*(AM+0.5*H)+P*AM*(AM+H+0.5*AM)/AR
Z1=(D*AM*H*3+E*H*H*3+P*AM*H*3)/12.+51AM*H*Y-0.51AM*E*2+E*H*H*(Y-AM-0.5*H)
+H*2*P*AM*(Y-AM-H-0.5*AM)*H*2
R1=R-Y
S=R1-AM
F=P/2.*R1*H*2
C=P/2.*H*(2.*R1*(AM-AR*H*2)+E/2.*H*(1-AM)*H*2)
FY=2.*AR/Z1*H*2*(F*H*2*AM-F*H*P/S.*R1*H*3+F*H*P/S.*0.51AM*E*H*2/20.*R1*H*5-P*H*2/20.*45*H*5)/F+24*AR/Z1*H*2*(C*H*2*5-C*E/S.*45*H*3+E*H*2/20.*45*H*5)/E
GOTO 100
20 CONTINUE
FY=FYCLL
AR=P*H*H*2/6.
Z1=P*H*H*H*4/64.
GOTO 100
30 CONTINUE
FY=FYTV
AR=P/1/6.*H*(H*2-E*H*2)
Z1=P*(H*H*4-E*H*3)/64.
GOTO 100
40 CONTINUE
AR=D
Z1=E
FY=A1
100 CONTINUE
                                RETURN
                                END

```



```

#USES UDATB IN #5:DOS.CODE OVERLAY
#USES UEMATR IN #5:CINCO.CODE OVERLAY
#USES UCARN IN #5:SEIS.CODE OVERLAY
#USES UCARBA IN #5:SEISPRI.CODE OVERLAY

```

```

PROGRAM ESQUEL
DIMENSION A(1500)
CHARACTER*1 CN
CHARACTER*30 TITULO
CHARACTER*5 ARCN
OPEN(6,FILE='PRINTER:')
OPEN(1,FILE='CONSOLE:')
CODE UNO : AN CORD FROM REMI
CODE DOS : T1PMAT BATO ENSN ENGB
CODE CAPCAP : CAP CALC
CODE CUATRO : PRENA RIGIL RIGIG
CODE CINCO : EMATR 16CV 56CV
CODE SEIS : CARR FZLG ELE FZFD
CODE SEISPRI : CARBA PC CG CC

```

```
WRITE(0,11)' QUE TITULO QUIERES DARLE A LA CORRIDA'
```

```

11 FORMAT(A)
READ(0,11)TITULO
WRITE(0, '(//)')
WRITE(0,11)' DATOS INICIALES'
WRITE(0, '(1,A,/)')'Numero de .....'
WRITE(0,12)'1-. PUNTOS NODALES --)'
READ(0,6000)NP
WRITE(0,12)'2-. BARRAS --)'
READ(0,6000)NBA
WRITE(0,12)'3-. MATERIALES DISTINTOS --)'
READ(0,6000)NMAI
WRITE(0,12)'4-. SECCIONES TRANSVERSALES TIPO --)'
READ(0,6000)NST
WRITE(0,12)'5-. TIPOS DE BARRAS (APOTOS) --)'
READ(0,6000)NDS
WRITE(0,12)'6-. INDICADOR DE EJECUCION --)'
READ(0,6000)IDE
IF(IDE.EQ.0)IDE=1

```

```
12 FORMAT(A6)
```

```
6040 FORMAT(DN,13)
```

```
13 CONTINUE
```

```
WRITE(IDE, '(A)')TITULO
```

```
N0=1
```

```
N1=N0+NBA
```

```
N2=N1+NP
```

```
N3=N2+NP
```

```
N4=N3+NMAI
```

```
N5=N4+NMAI
```

```
N6=N5+NST
```

```
N7=N6+NST
```

```
N8=N7+NST
```

```
N9=N8+2*NBA
```

```
N10=N9+NBA
```

```
N11=N10+NBA
```

```
N12=N11
```

```
N13=N12
```

```
N14=N13
```

```
N15=N14+3*NP
```

```
N16=N15+NBA
```

```
N17=N16+NBA
```

```
N18=N17
```

```
N19=N18+6*NBA
```

```
N20=N19+NBA
```

```
N21=N20+NBA
```

```
N22=N21+6*6*NBA
```

```
WRITE(IDE, '(A6)') N22 --)'
```

```
WRITE(IDE, '(14)')N22
```

```
WRITE(0, '(A,////)')'XXXXXXXXXXXXXXXXXXXXXXXXXXXXXXXXXXXXXXXXXXXX'
```

```
CALL ART(NDS, NBA, A(N0))
```

```
CALL CORDE(IDE, A(N1), A(N2), NP)
```

```
WRITE(0, '(A,////)')'XXXXXXXXXXXXXXXXXXXXXXXXXXXXXXXXXXXXXXXXXXXX'
```

```
CALL FRONT(IDE, N2, A(N14))
```

```
CALL REMUN(NP, A(N14), NMAI)
```



```

SUBROUTINE CARBU (IDE, NP, FF, NMC, NMC1)
DIMENSION FF(3, NMC), NMC(NMC)
CALL CARU(IDE, NP, FF, NMC, NMC1)
RETURN
END

SUBROUTINE PREMAT (IDE, NPA, AP, NPA1, NST, ISEC, IPAT, I, Y, EY, UN)
DIMENSION ICOM(NBA, 2), ISEC(NBA), IPAT(NBA), EY(NPAT),
1 UN(NPAT), X(NP), Y(NP), AP(NST), Z(NST),
2 IE(NBA, 6), F(NST), IFR(NP, 3),
3 AK(6, 6), AKG(6, 6), IL(NBA), OY(NBA), AKT(6, 6, NBA),
4 S(NBA), C(NBA), ITIBA(NBA)

11 FORMAT(A)
DO 501 I=1, NPA1
501 UN(I)=EY(I)/Z(I), *UN(I)
DO 500 N=1, NBA
11) = I ICOM(N, 2) - X(I COM(N, 1))
Y2 = Y ICOM(N, 2) - Y ICOM(N, 1)
XL(N) = SORT(I2 I2 I2 + Y2 I2 I2)
WRITE(IDE, '(A)') I2 I2 Y2 LONG
1 POISSON YOUNG'
WRITE(IDE, 6500) I2 I2, Y2 I2, XL(N), UN(IPAT(N)), EY(IPAT(N))
6500 FORMAT(SF15.2)
S(N) = Y2 I2 / XL(N)
C(N) = X2 I2 / XL(N)
OY(N) = I2, 6 Y I ISEC(N) I EY(IPAT(N)) I Z I ISEC(N) I / AR I ISEC(N)
1 / UN(IPAT(N)) I / XL(N) I Z
WRITE(IDE, '(A)') ' FACTOR OY -> '
WRITE(IDE, '(F15.6)') OY(N)
CALL RIGIL(EY(IPAT(N)), AR I ISEC(N), IL(N), OY(N), Z I ISEC(N), AK
1 NBA, ITIBA(N))
WRITE(IDE, '(A)') ' RIGIDEZ LOCAL'
DO 800 KL=1, 6
WRITE(IDE, '(6F15.2)') AK(KL, 1), AK(KL, 2), AK(KL, 3), AK(KL, 4), AK
1 KL, 5), AK(KL, 6)

800 CONTINUE
CALL RIGIG(AK, C(N), S(N), AKG)
DO 600 KL=1, 6
DO 600 LK=1, 6
600 AKT(KL, LK, N) = AKG(KL, LK)
WRITE(IDE, 801)
801 FORMAT(' MATRIZ DE RIGIDEZ GLOBAL DE LA BARRA ', I3, /)
DO 401 I=1, 6
WRITE(IDE, '(6F15.2)') AKG(I, 1), AKG(I, 2), AKG(I, 3),
1 AKG(I, 4), AKG(I, 5), AKG(I, 6)

401 CONTINUE
DO 499 I=1, 3
IE(N, I) = IFR(ICOM(N, 1), I)
IE(N, I+3) = IFR(ICOM(N, 2), I)
499 CONTINUE
WRITE(IDE, 806)
806 FORMAT(' INDICADOR DE ECUACION DE LA BARRA ', I3, /)
WRITE(IDE, '(6I3)') IE(N, 1), IE(N, 2), IE(N, 3), IE(N, 4), IE(N, 5),
1 IE(N, 6)

500 CONTINUE
RETURN
END

SUBROUTINE RIGIG(AK, CN, SH, AKG)
DIMENSION AK(6, 6), AKG(6, 6)
DO 90 I=1, 6
DO 90 J=1, 6
90 AKG(I, J) = 0.0
AKG(1, 1) = CN I I AK(I, 1) + SH I I AK(2, 2)
AKG(1, 2) = -CN SH I AK(I, 1) - AK(2, 2)
AKG(1, 3) = -SH I AK(2, 3)
AKG(1, 4) = -CN I I AK(I, 4) + SH I I AK(2, 5)
AKG(1, 5) = -CN SH I AK(I, 4) - AK(2, 5)
AKG(1, 6) = -SH I AK(2, 6)
AKG(2, 2) = SH I I AK(I, 1) + CN I I AK(2, 2)
AKG(2, 3) = -CN I AK(2, 3)
AKG(2, 4) = SH I CN I AK(I, 4) - AK(2, 5)
AKG(2, 5) = SH I I AK(I, 4) + CN I I AK(2, 5)

```

```

AKG(2,6)=CNI*AK(2,6)
AKG(3,3)=AK(3,3)
AKG(3,4)=-SMI*AK(3,5)
AKG(3,5)=CNI*AK(3,5)
AKG(3,6)=AK(3,6)
AKG(4,4)=CNI*ZPAK(4,4)+SMI*ZPAK(5,5)
AKG(4,5)=CNI*SMI*AK(4,4)-AK(5,5)
AKG(4,6)=-SMI*AK(5,6)
AKG(5,5)=SMI*ZPAK(4,4)+CNI*ZPAK(5,5)
AKG(5,6)=CNI*AK(5,6)
AKG(6,6)=AK(6,6)
P=0
DO 90 I=1,6
  P=P+1
  DO 90 J=I,6
90   AKG(I,J)=AKG(I,J)
                                     RETURN
                                     END
SUBROUTINE RIGL(LEY,AR,AL,DY,ZI,AK,NSA,ITIBA)
DIMENSION AK(6,6)
DO 100 I=1,6
  DO 100 J=1,6
100  AK(I,J)=0.0
AK(1,1)=EY*AR/IL
AK(1,4)=-AB(1,1)
AK(2,2)=12.*EY*Z1/IL+.QY/IL*NS3
AK(2,3)=6.*EY*Z1/IL+.QY/IL*NS2
AK(2,5)=-AK(2,2)
AK(2,6)=AK(2,3)
AK(3,3)=(4.+QY)*EY*Z1/IL+.QY/IL
AK(3,5)=-AK(2,3)
AK(3,6)=(2.-QY)*EY*Z1/IL/IL+.QY/IL
AK(4,4)=AK(1,1)
AK(5,5)=AK(2,2)
AK(5,6)=-AK(2,3)
AK(6,6)=AK(3,3)
P=0
DO 103 I=1,6
  P=P+1
  DO 103 J=I,6
103  AK(J,I)=AK(I,J)
CONTINUE
AU1=(3.+QY)/(4.+QY)
IF(ITIBA.EQ.0)RETURN
GOTO(10,20,30)ITIBA
10  CONTINUE
AK(2,2)=AU1*AK(2,2)
AK(2,5)=-AU1*AK(2,5)
AK(2,6)=2.*AU1*AK(2,6)
AK(5,5)=AU1*AK(5,5)
AK(5,6)=2.*AU1*AK(5,6)
AK(6,6)=12.*AU1/(4.+QY)*AK(6,6)
AK(5,2)=AK(2,5)
AK(6,2)=AK(2,6)
II=3
GOTO 40
20  CONTINUE
AK(2,2)=AU1*AK(2,2)
AK(2,3)=2.*AU1*AK(2,3)
AK(2,5)=-AU1*AK(2,5)
AK(3,3)=12.*AU1/(4.+QY)*AK(3,3)
AK(5,5)=2.*AU1*AK(5,5)
AK(3,2)=AK(2,3)
AK(5,2)=AK(2,5)
AK(5,3)=AK(3,5)
II=6
GOTO 40
30  CONTINUE
DO 30 I=1,6
  AK(2,I)=0.0
  AK(3,I)=0.0
  AK(5,I)=0.0

```

```

      AK(1,1)=0.0
      AK(1,2)=0.0
      AK(1,3)=0.0
      AK(1,5)=0.0
      AK(1,6)=0.0
80  CONTINUE
      GO TO 50
90  CONTINUE
      DO 90 I=1,6
         AK(I,1)=0.0
         AK(I,11)=0.0
90  CONTINUE
                                     RETURN
                                     END
SUBROUTINE EMATRI(IDE,NDA,NPA1,AKT,RIGE,IE)
DIMENSION AKT(6,6,NDA),RIGE(NPA1,NPA1),IE(NDA,6)
      CALL EMATRI(IDE,NDA,NPA1,AKT,RIGE,IE)
      RETURN
      END
SUBROUTINE TGCVE(IDE,N,A)
DIMENSION A(N,N)
      CALL TGCV(IDE,N,6)
                                     RETURN
                                     END
SUBROUTINE SGCVE(IDE,N,A,B)
DIMENSION A(N,N),B(N)
      CALL SGCV(IDE,N,A,B)
                                     RETURN
                                     END
SUBROUTINE EMSF(IDE,NPA1,NDC,NP,FF,IFR,ONDC,F)
DIMENSION F(NPA1),FF(3,NDC),IFR(NP,3),ONDC(NDC)
      CALL EMSF(IDE,NPA1,NDC,NP,FF,IFR,ONDC,F)
      RETURN
      END
SUBROUTINE EMSF0(IDE,NPA1,NDC,NDA,FBAR,IE,NB,F)
DIMENSION FBAR(NDC,6),IE(NDA,6),NB(NDC),F(NPA1)
      CALL EMS0(IDE,NPA1,NDC,NDA,FBAR,IE,NB,F)
      RETURN
      END
SUBROUTINE FZFIL(IDE,NDC,NRA,NB,FZFI,FZFB,SN,CS)
DIMENSION FZFI(NDC,6),FZFB(NDC,6),NB(NDC),SN(NDA),CS(NDA)
      CALL FZFI(IDE,NDC,NRA,NB,FZFI,FZFB,SN,CS)
      RETURN
      END
SUBROUTINE ART(NDS,NDA,ITDA)
DIMENSION ITDA(NDA)
      NR=1
200  CONTINUE
      IF NDS.EQ.0 THEN
          DO 100 I=1,NDA
              ITDA(I)=0
          RETURN
      ELSE
          WRITE(0, '(//,A,13)') ' BARRA INICIAL : ',NR
          WRITE(0, '(A4)') ' BARRA FINAL : '
          READ(0, '(M,13)') NR
          WRITE(0, '(//,A4)') ' IDENTIFICADOR : '
          READ(0, '(M,13)') IP
          DO 300 I=NR,NDA
              ITDA(I)=IP
          NR=NR+1
          ENDIF
          NA=NR-1
          IF (NA.EQ.NDA) RETURN
          GO TO 200
      END
SUBROUTINE CORPEL(IDE,I,Y,NP)
DIMENSION I(NP),Y(NP)
      WRITE(0,1) ' 000 COORDENADAS DE LOS PUNTOS 000'
      WRITE(0,2) ' 000          NODALES          000'
      WRITE(0,3) '          unidades --> (cm)'
      WRITE(0, '(//)')

```

```

DO 100 I=1, NP
  WRITE(8, 6000) I
  READ(8, 5000) I(1)
  WRITE(8, 6001) I
  READ(8, 5000) Y(1)
100 CONTINUE
WRITE(IDE, '(A)') 'COORDENADAS...'
DO 99 I=1, NP
  WRITE(IDE, '(2F10.2)') X(I), Y(I)
99 CONTINUE
6000 FORMAT(/, 10X, 'I(', 13, ') = ', 0)
6001 FORMAT(10X, 'Y(', 13, ') = ', 0)
5000 FORMAT(F15.2)
1   FORMAT(A)

                                RETURN
                                END

SUBROUTINE FRONT(IDE, NP, IFR)
  DIMENSION IFR(NP, 3)
  DO 105 I=1, NP
    WRITE(8, 6300) I
    READ(8, 5300) IFR(I, 1)
    WRITE(8, 6301) I
    READ(8, 5300) IFR(I, 2)
    WRITE(8, 6302) I
    READ(8, 5300) IFR(I, 3)
105 CONTINUE
WRITE(IDE, '(A)') 'FRONTERA ..'
DO 98 I=1, NP
  WRITE(IDE, '(3I3)') IFR(I, 1), IFR(I, 2), IFR(I, 3)
98 CONTINUE
6300 FORMAT(/, '  DESPL. EN X NODO ', 12, '--) ', 0)
5300 FORMAT(8H, I2)
6301 FORMAT('  DESPL. EN Y NODO ', 12, '--) ', 0)
6302 FORMAT('  GIRO EN EL NODO ', 12, '--) ', 0)

                                RETURN
                                END

SUBROUTINE DESP(IDE, NMAI, NDA, IE, F, NDP, AKT)
  DIMENSION IE(NDA, 6), F(NMAI), AKT(6, 6, NDA), D(3), FA(6), DA(6)
  CHARACTER*1 CH
  DO 200 I=1, NDP
    WRITE(8, '(12,A)') I, 'a. CONFIGURACION DE DESPLAZAMIENTO'
    WRITE(8, '(A)') ' DAME LOS DESPLAZAMIENTOS INDICADOS'
    WRITE(8, '(A0)') ' DIRECCION X --- '
    READ(8, '(F15.5)') D(1)
    WRITE(8, '(A0)') ' DIRECCION Y --- '
    READ(8, '(F15.5)') D(2)
    WRITE(8, '(A0)') ' GIRO (rad) --- '
    READ(8, '(F15.5)') D(3)
    WRITE(8, '(//,A0)') ' NUMERO DE BARRAS AFECTADAS '
    WRITE(8, '(A0)') ' DIRECTAMENTE POR LA CONFIGURACION ? '
    READ(8, '(8H, I3)') NN
    DO 300 J=1, NN
      WRITE(8, '(12,A)') J, 'a. BARRA AFECTADA'
      WRITE(8, '(A0)') ' NUMERO DE BARRA : '
      READ(8, '(8H, I3)') NB
      WRITE(8, '(A0)') ' ¿ NODO AFECTADO I o J ? '
      READ(8, '(A)') CH
      IF(CH.EQ.'I') THEN
        NC=0
      ENDIF
      IF(CH.EQ.'J') THEN
        NC=3
      ENDIF
      DO 301 J1=1, 6
        BA(J1)=0.0
      DO 302 J1=1, 3
        BA(NC+J1)=D(J1)
      DO 400 K=1, 6
        DO 500 L=1, 6
          FA(K)=FA(K)+AKT(K, L, NB)*DA(L)
        CONTINUE
      CONTINUE
200 CONTINUE
301
302
400
500
600 CONTINUE

```

```

      DO 600 K=1,6
      IK=I(ND,K)
      IF(IK,LE,0)GOTO 600
      F(IK)=F(IK1)-FA(IK)
600   CONTINUE
300   CONTINUE
200   CONTINUE
      RETURN
      END

SUBROUTINE MEMBR(MP,IFR,N)
DIMENSION IFR(MP,3)
DO 100 I=1,MP
  WRITE(I,'(3I4)')IFR(I,1),IFR(I,2),IFR(I,3)
100  CONTINUE
  N=1
  M=1
  DO 106 I=1,MP
    DO 105 L=1,3
      II=IFR(I,L)
      IF(II,LT,0)JJ=1
      IF(II,EB,0)JJ=2
      IF(II,BT,0)JJ=3
      GOTO(11,12,13)JJ
11   CONTINUE
      IFR(I,L)=0
      M=M+1
      GOTO 104
12  CONTINUE
      IFR(I,L)=0
      M=M+1
      GOTO 104
13  CONTINUE
      IFR(I,L)=0
104  CONTINUE
105  CONTINUE
106  CONTINUE
  M=M+1
      RETURN
      END

SUBROUTINE TIPMAT(MMAT,EY,UM)
DIMENSION EY(MMAT),UM(MMAT)
DO 100 I=1,MMAT
  WRITE(I,5000)
5000  FORMAT('/','Para el Tipo de Material 0 : ',I1,' de el valor de')
      WRITE(I,5) ' El Modulo de Elasticidad (Kg/cm2)  --)'
1     FORMAT(A0)
      READ(I,6000)EY(I)
6000  FORMAT(F15.2)
      WRITE(I,5) ' La Relacion de Poisson  --)'
      READ(I,6001)UM(I)
6001  FORMAT(F10.6)
100   CONTINUE
      RETURN
      END

SUBROUTINE CALC(IIDE,ZI,FY,AR)
WRITE(I,5) 'DAME EL VALOR DEL AREA  --)'
READ(I,ZI)AR
WRITE(I,5) 'DAME EL VALOR DEL MOMENTO DE INERCIA --)'
READ(I,ZI)I
WRITE(I,5) 'DAME EL VALOR DEL FACTOR DE CORTANTE --)'
READ(I,ZI)FY
1     FORMAT(A0)
2     FORMAT(F15.3)
WRITE(I,5,'(A0)') ' AREA  --)'
WRITE(I,5,'(F15.3)')AR
WRITE(I,5,'(A0)') ' INERCIA  --)'
WRITE(I,5,'(F15.3)')I
WRITE(I,5,'(A0)') ' FACTOR DE CORTANTE --)'
WRITE(I,5,'(F15.3)')FY
      RETURN
      END

```

```

SUBROUTINE AR(NDS,NBA,ITIBA)
DIMENSION ITIBA(NBA)
CONTINUE
IF (NDS.EQ.0) THEN
  DO 100 I=1,NBA
    ITIBA(I)=0
  RETURN
ELSE
  NN=1
  WRITE(0, '(//,A,13)') ' BARRA INICIAL : ',NN
  WRITE(0, '(A0)') ' BARRA FINAL : '
  READ(0, '(0M,13)') MMN
  WRITE(0, '(//,A0)') ' IDENTIFICADOR : '
  READ(0, '(0M,13)') IP
  DO 300 I=MM,MMN
    ITIBA(I)=IP
  MM=MMN+1
ENDIF
NA=MM-1
IF (NA.EQ.NBA) RETURN
GOTO 200
END

SUBROUTINE COORD(IDE,X,Y,NP)
DIMENSION X(NP),Y(NP)
WRITE(0,1) ' ### COORDENADAS DE LOS PUNTOS ###'
WRITE(0,2) ' ### NOMBRES ###'
WRITE(0,3) ' unidades --> (cm) '
WRITE(0, '(//)')
DO 100 I=1,NP
  WRITE(0,4000)
  READ(0,5000) X(I)
  WRITE(0,400) X(I)
  READ(0,5000) Y(I)
  WRITE(0,5000) Y(I)
100 CONTINUE
WRITE(IDE, '(A)') 'COORDENADAS...'
DO 99 I=1,NP
  WRITE(IDE, '(2F10.2)') X(I),Y(I)
99 CONTINUE
6040 FORMAT(/,10X,'X(',13,')= ',0)
6001 FORMAT(10X,'Y(',13,')= ',0)
5040 FORMAT(F15.2)
1 FORMAT(A)
RETURN
END

SUBROUTINE FROM(IDE,NP,IFR)
DIMENSION IFR(NP,3)
DO 105 I=1,NP
  WRITE(0,4300)
  READ(0,5300) IFR(I,1)
  WRITE(0,430) IFR(I,1)
  READ(0,5300) IFR(I,2)
  WRITE(0,4302) IFR(I,2)
  READ(0,5300) IFR(I,3)
105 CONTINUE
WRITE(IDE, '(A)') 'FRONTERA ..'
DO 98 I=1,NP
  WRITE(IDE, '(3I3)') IFR(I,1),IFR(I,2),IFR(I,3)
98 CONTINUE
6340 FORMAT(/, ' DESPL. EN X NODO ',12,'--') '0)
5300 FORMAT(11)
6301 FORMAT(' DESPL. EN Y NODO ',12,'--') '0)
6302 FORMAT(' GIRO EN EL NODO ',12,'--') '0)
RETURN
END

SUBROUTINE REMU(IDE,NP,IFR,N)
DIMENSION IFR(NP,3)
WRITE(IDE, '(A)') 'FRONTERA PARA REMUERAR '
DO 100 I=1,NP
  WRITE(0, '(3I4)') IFR(I,1),IFR(I,2),IFR(I,3)
100 CONTINUE
N=1
DO 106 I=1,NP

```



```

DO 106 L=1,3
  IF (IFR(I,L).EQ.1) THEN
    IFR(I,L)=0
  ELSE
    IFR(I,L)=N
    N=N+1
  ENDIF
106 CONTINUE
N=N-1
WRITE(IDE,'(A)')'RENUMERADOS ...'
DO 97 I=1,NP
  WRITE(IDE,'(3I3)')IFR(I,1),IFR(I,2),IFR(I,3)
97 CONTINUE
                                RETURN
                                END
SUBROUTINE TYPMAT(NMAT,ET,UM)
DIMENSION ET(NMAT),UM(NMAT)
DO 100 I=1,NMAT
  WRITE(I,5000)I
5000  FORMAT(//,'Para el Tipo de Material 0 : ',I1,' da el valor de')
      WRITE(I,11)' El Modelo de Elasticidad (Kq/co2)      --)'
      FORMAT(A6)
      READ(I,6000)ET(I)
6000  FORMAT(F15.2)
      WRITE(I,11)' La Relacion de Poisson                --)'
      READ(I,6001)UM(I)
6001  FORMAT(F10.6)
100 CONTINUE
                                RETURN
                                END
SUBROUTINE DATI(IDE,NST,NMAT,NBA,ICON,ISEC,IMAT)
DIMENSION ICON(NBA,2),ISEC(NBA),IMAT(NBA)
DO 200 N=1,NBA
  WRITE(I,6100)N
6100  FORMAT(//,'BARRA 0 ',I3)
      WRITE(I,131)' NODO I : '
131   FORMAT(20I,40)
      READ(I,5101)ICON(N,1)
5101  FORMAT(8I,13)
      WRITE(I,121)' NODO J : '
121   FORMAT(20I,40)
      READ(I,5100)ICON(N,2)
11    FORMAT(A6)
5100  FORMAT(8I,13)
      IF (NST.EQ.1) THEN
        ISEC(N)=1
      ELSE
        WRITE(I,6101)N
6101  FORMAT('TIPO DE SECCION TRANSV. BARRA 0 ',I3,' --)'0)
        READ(I,5100)ISEC(N)
      ENDIF
      IF (NMAT.EQ.1) THEN
        IMAT(N)=1
      ELSE
        WRITE(I,6102)N
6102  FORMAT('TIPO DE MATERIAL DE LA BARRA 0 ',I3,' --)'0)
        READ(I,5100)IMAT(N)
      ENDIF
200 CONTINUE
WRITE(IDE,'(A)')'NODO I NODO J MATERIAL '
DO 96 I=1,NBA
  WRITE(IDE,'(3I8)')ICON(I,1),ICON(I,2),IMAT(I)
96 CONTINUE
                                RETURN
                                END
SUBROUTINE ERSH(IDE,NMAT,NNC,NP,FF,IFR,NNC,F)
DIMENSION F(NMAT),FF(3,NNC),IFR(NP,3),NNC(NNC)
DO 50 N=1,NMAT
  F(N)=0.0
DO 200 J=1,NNC
  JJ=NNC(I)
DO 100 J=1,3

```

```

      IK=IFR(JJ,1)
      IF(IK.LE.0)GOTO 190
      F(IK)=F(IK)+FF(J,1)
100  CONTINUE
200  CONTINUE
DO 400 L=1,NMAX
  WRITE(10C,'(F15.3)')F(L)
  WRITE(6,'(F15.3)')F(L)
400  CONTINUE
      RETURN
      END
SUBROUTINE ENER(INE,NMAX,NBC,NBA,FBAR,IE,NB,F)
DIMENSION FBAR(NBC,6),IE(NBA,6),NB(NBC),F(NMAX)
DO 200 I=1,NBC
  JJ=NB(I)
  DO 100 J=1,6
    IK=IE(JJ,1)
    IF(IK.LE.0)GOTO 100
    F(IK)=F(IK)+FBAR(I,J)
100  CONTINUE
200  CONTINUE
DO 400 L=1,NMAX
  WRITE(10E,'(F15.3)')F(L)
  WRITE(6,'(F15.3)')F(L)
400  CONTINUE
      RETURN
      END
SUBROUTINE CAPR(INE,NP,FF,NBC,NMNC)
DIMENSION FF(3,NBC),NMNC(NBC)
DO 210 I=1,NBC
  WRITE(6,'(//)')
  WRITE(6,12)'DAME EL NUMERO DEL MODO CARGADO -->'
12  FORMAT(A9)
  READ(6,510)N
  WRITE(6,610)N
6110  FORMAT('FUERZA Fx( ',13,' ) (Kg) -->')
  READ(6,511)FF(1,1)
  WRITE(6,6110)N
6119  FORMAT('FUERZA Fy( ',13,' ) (Kg) -->')
  READ(6,511)FF(2,1)
5110  FORMAT(M,13)
  WRITE(6,6111)N
5111  FORMAT(F15.4)
6111  FORMAT('MOMENTO EXTERNO Mx( ',13,' )(kg-cm) -->')
  READ(6,511)FF(3,1)
  NMNC(I)=N
210  CONTINUE
DO 95 I=1,NBC
  WRITE(10C,'(A1)')FFI      FFI      INDEX
  ' MODO CARGADO'
  WRITE(10C,'(SP15.2,16)')FF(1,1),FF(2,1),FF(3,1),NMNC(I)
95  CONTINUE
      RETURN
      END
SUBROUTINE FZLG(INE,NBC,NBA,NB,FZFL,FZFG,SN,CS)
DIMENSION FZFL(NBC,6),FZFG(NBC,6),NB(NBC),SN(NBA),CS(NBA)
DO 100 I=1,NBC
  J=NB(I)
  FZFG(1,1)=CS(J)+FZFL(1,1)-SN(J)+FZFL(1,2)
  FZFG(1,2)=SN(J)+FZFL(1,1)+CS(J)+FZFL(1,2)
  FZFG(1,3)=FZFL(1,3)
  FZFG(1,4)=CS(J)+FZFL(1,4)-SN(J)+FZFL(1,5)
  FZFG(1,5)=SN(J)+FZFL(1,5)+CS(J)+FZFL(1,5)
  FZFG(1,6)=FZFL(1,6)
100  CONTINUE
      RETURN
      END
SUBROUTINE ELE(IDE,NBA,S,C,AKT,IE,F,NMAX,FZFG,NBC,NB)
DIMENSION S(NBA),C(NBA),AKT(6,6,6),IE(NBA,6),F(NMAX),U(6)
      FZFG(NBC,6),NB(NBC),FZINT(6),FZBAR(6)
DO 800 I=1,NBA
  DO 100 JI=1,NBC

```

```

      NN=NI(11)
      IF(NN.EQ.1)THEN
        DO 50 JJ=1,6
          FZINT(JJ)=FZFIB(11,JJ)
50      CONTINUE
        GOTO 101
      ELSE
        DO 51 JJ=1,6
          FZINT(JJ)=0.0
51      CONTINUE
        ENDIF
100     CONTINUE
101     CONTINUE
        DO 200 J=1,6
          LR=LE(1,J)
          IF(LR.LE.0)GOTO 150
          U(J)=F(LR)
          GOTO 200
150     CONTINUE
          U(J)=0.0
200     CONTINUE
        DO 700 K=1,6
          DO 600 L=1,6
            FZINT(K)=FZINT(K)+AKT(L,L,1)SU(L)
600     CONTINUE
700     CONTINUE
        CALL FZFIB(IDE,FZINT,FIBAR,S(1),C(1),S)
800     CONTINUE
          RETURN
        END
SUBROUTINE FZFIB(IDE,FZIL,FZIB,S,C,II)
  DIMENSION FZIL(6),FZIB(6)
  FZIB(1)=C+FZIL(1)+S+FZIL(2)
  FZIB(2)=C+FZIL(2)-S+FZIL(1)
  FZIB(3)=FZIL(3)
  FZIB(4)=C+FZIL(4)+S+FZIL(5)
  FZIB(5)=C+FZIL(5)-S+FZIL(4)
  FZIB(6)=FZIL(6)
  WRITE(IDE,'(A,12)') ' BARRA NUMERO : ',II
  DO 100 I=1,6
    WRITE(IDE,'(A,11,A,F15.3)') FUERZA( ',I,' ) = ',FZIB(I)
100   CONTINUE
          RETURN
        END
SUBROUTINE CARDA(IDE,NDC,NDA,IL,BY,FBAR,ND,S,C,FBARG,ITIBA)
  DIMENSION IL(NDA),BY(NDA),FBAR(NDC,6),ND(NDC),S(NDA),C(NDA),
  & FBARG(NDC,6),ITIBA(NDA)
  DO 95 I=1,NDC
    WRITE(0,'(7,A,/,10L,12,A,/)')'#####'
    WRITE(0,'(///)') '#####',I,'a. Barra Cargada'
    WRITE(0,'(00)') Numero de Barra Cargada -->
    READ(0,1000)ND(I)
    FORMAT(00,13)
    JI=ND(I)
6099   WRITE(0,6100)ND(I)
6100   FORMAT(' Numero de cargas que actuan sobre la barra ',
    & 13,'--')
    READ(0,'(00,12)')N
5100   FORMAT(11)
    IF(N.GT.20.OR.N.LE.0)THEN
      WRITE(0,'(A)')'El numero maximo de cargas es 20.Teclea
    & bien.'
    GOTO 6099
    ENDIF
    FW1=.0
    FV1=.0
    FB1=.0
    FW2=.0
    FV2=.0
    FB2=.0
    DO 94 II=1,N
      CALL CC(01,01,01,02,ITCC,XL(JJ))

```

```

510      GOTO(S10,S10,S10,S20,S10,S10)ITCC
        CALL CG(10E,A1,B1,W1,W2,FN1,FV1,FN1,FN1,FVJ,FVJ,FN1,
            IL(JJ),BY(JJ))
520      GOTO 511
        CALL PC(A1,W1,FN1,FV1,FN1,FN1,FVJ,FVJ,FN1,IL(JJ),
            BY(JJ))
511      CONTINUE
        FN11=FN11+FN1
        FV11=FV11+FV1
        FN11=FN11+FN1
        FN11=FN11+FN1
        FVJ1=FVJ1+FVJ
        FN11=FN11+FN1
94       CONTINUE
        FBAR(1,1)=FN11
        FBAR(1,2)=FV11
        FBAR(1,3)=FN11
        FBAR(1,4)=FN11
        FBAR(1,5)=FVJ1
        FBAR(1,6)=FN11
        WRITE(0,999)FN11,FV11,FN11,FN11,FVJ1,FN11
        WRITE(10E,999)FN11,FV11,FN11,FN11,FVJ1,FN11
999      FORMAT(6F12.2)
        IF(ITIME(JJ).EQ.0)GOTO 95
        FTB=(2.-BY(JJ))/4.*BY(JJ)
        BOTO(1,2,3)ITIME(JJ)
1        CONTINUE
        FBAR(1,2)=FBAR(1,2)-(1.+FTB)FBAR(1,3)/IL(JJ)
        FBAR(1,5)=FBAR(1,5)+(1.+FTB)FBAR(1,3)/IL(JJ)
        FBAR(1,6)=FBAR(1,6)-FTBFBAR(1,3)
        FBAR(1,3)=0.0
        GOTO 4
2        CONTINUE
        FBAR(1,2)=FBAR(1,2)-(1.+FTB)FBAR(1,6)/IL(JJ)
        FBAR(1,5)=FBAR(1,5)+(1.+FTB)FBAR(1,3)/IL(JJ)
        FBAR(1,3)=FBAR(1,3)-FTBFBAR(1,6)
        FBAR(1,6)=0.0
        GOTO 4
3        CONTINUE
        FBAR(1,3)=0.0
        FBAR(1,6)=0.0
4        CONTINUE
95       CONTINUE
                                RETURN
                                END
SUBROUTINE CG(10E,A,B,W1,W2,FN1,FV1,FN1,FN1,FVJ,FVJ,FN1,IL,BY)
WRITE(0,1000)A,B,W1,W2,IL,BY
WRITE(10E,'(A)') A B W1 W2 IL BY
1000    FORMAT(SF14.2,F15.6)
WRITE(10E,1000)A,B,W1,W2,IL,BY
FN1=0.0
FV1=(IL-A-B)/(1.+BY)/IL*0.3*10.5*0.02*(3.4*IL-2.8)*B*(W2+W1)+.25
10*(IL-A-B)*B*(IL*(IL-A)*B*(W1+W2)-B*(IL-6.1A+2.8B)*W1+BB*(IL+2.8
2A-2.8B)*W2)-1./10.4*(IL-A-B)*B*(4.6W1+W2)+1./6.8*BY*IL*0.2*(2.8
3*(IL-A-2.8B)*W1+(IL-A+B)*W2)
FV1=(IL-A-B)/2./(1.+BY)/IL*0.2*(0.02*(IL-B)*B*(W1+W2)+1./6.8*(IL
4-A-B)*B*(IL*0.2-A*IL+3.8A*B)*B*(W1+W2)-B*(4.6*IL+3.8B)*W1-3.8B*B
52*(W2)-1./10.4*(IL-A-B)*B*(4.6W1+W2)+1./12.4*BY*IL*0.2*(IL*0.2-10.
68*IL+2.8A*IL+2.8A*B-3.8A*B*2-B*0.2)*W1+(IL*0.2+2.8A*B-A*0.2-3.8B
78*2)*W2)
FN1=0.0
FVJ=1./2.8*(IL-A-B)*B*(W1+W2)-FV1
FN1=FV1*IL-FN1-1./6.8*(IL-A-B)*B*(2.8*IL-2.8A+B)*W1+(IL-A+2.8B)*W2)
WRITE(0,'(6F12.3)')FN1,FV1,FN1,FN1,FVJ,FN1
        RETURN
        END
SUBROUTINE PC(A,FN1,FN1,FV1,FN1,FN1,FVJ,FVJ,FN1,IL,BY)
FN1=0.0
FV1=.6.8A*(IL-A)*FN1/(1.+BY)/IL*0.3
FN1=(IL-A)*13.8A-IL-0.0*IL)*FN1/(1.+BY)/IL*0.2
FN1=0.0
FVJ=-FV1

```

RETURN
END

```

SUBROUTINE CC(A1,B1,W1,W2,ITCC,LI)
400 WRITE(4,11)'          0000 CONDICIONES DE CARGA 0000'
WRITE(4,64011)
6401 FORMAT('          1=CARGA UNIFORME CONTINUA',/
',          2=CARGA LINEAL CONTINUA',/
',          3=FUERZA CONCENTRADA',/
',          4=PAR CONCENTRADO',/
',          5=CARGA UNIFORME DISCONTINUA',/
',          6=CARGA LINEAL DISCONTINUA',/
',          7=TERMINAR',/)
11 FORMAT(A)
WRITE(4,13)' HAZ TU ELECCION DE ACUERDO AL MENU 0 --)'
13 FORMAT(A)
READ(4,5400)ITCC
WRITE(4,'(//)')
5400 FORMAT(BI,12)
IF(ITCC.EB.7)THEN
    A1=0.0
    B1=0.0
    W1=0.0
    W2=0.0
    ITCC=1
    RETURN
ENDIF
IF(ITCC.LT.1.ON.ITCC.GT.7)GOTO 400
    GOTO(1,2,3,4,5,6)ITCC
1 CONTINUE
A1=0.0
B1=0.0
WRITE(4,11)'          00 CARGA UNIFORME CONTINUA 00'
WRITE(4,'(//)')
WRITE(4,12)'          CARGA W1 (Kg/cm)          --)'
12 FORMAT(A)
READ(4,5402)W1
W2=W1
GOTO 15
2 CONTINUE
A1=0.0
B1=0.0
WRITE(4,'(A,/)')'          00 CARGA LINEAL CONTINUA 00'
WRITE(4,12)'          CARGA W1 (Kg/cm)          --)'
READ(4,5402)W1
WRITE(4,12)'          CARGA W2 (Kg/cm)          --)'
READ(4,5402)W2
GOTO 15
3 CONTINUE
WRITE(4,'(A,/)')'          00 FUERZA CONCENTRADA 00'
WRITE(4,12)'          CARGA P (Kg)          --)'
READ(4,5402)P
5402 FORMAT(F15.2)
WRITE(4,12)'          DISTANCIA A (cm)          --)'
READ(4,5402)A1
A1=A1-5.
B1=11-A1-10.
W1=P/10.
W2=W1
GOTO 15
4 CONTINUE
WRITE(4,'(A,/)')'          000 PAR CONCENTRADO 000'
WRITE(4,12)'          DISTANCIA A (cm)          --)'
READ(4,5402)A1
WRITE(4,12)'          MAGNITUD DEL MOMENTO M (Kg-cm) --)'
READ(4,5402)M1
GOTO 15
5 CONTINUE
WRITE(4,'(A,/)')'          000 CARGA UNIFORME DISCONTINUA 000'
WRITE(4,12)'          DISTANCIA (A) (cm)          --)'
READ(4,5402)A1
WRITE(4,12)'          DISTANCIA (B) (cm)          --)'

```

```

READ(0,5402)W1
WRITE(0,12)'
READ(0,5402)W1
W2=W1
GOTO 15
6 CONTINUE
WRITE(0,'(A,F1)') ' 000 CARGA LINEAL DISCONTINUA 000'
WRITE(0,12)' DISTANCIA (A) (cm) --)'
READ(0,5402)A1 DISTANCIA (B) (cm) --)'
WRITE(0,12)' CARGA W1 (Kg/cm) --)'
READ(0,5402)W1 CARGA W2 (Kg/cm) --)'
WRITE(0,12)'
15 CONTINUE
RETURN
END

```